

МИНИСТЕРСТВО ГЕОЛОГИИ СССР
МИНИСТЕРСТВО ГЕОЛОГИИ РСФСР
БУРЯТСКОЕ ОРДЕНА ТРУДОВОГО КРАСНОГО ЗНАМЕНИ ПРОИЗВОДСТВЕННОЕ
ГЕОЛОГИЧЕСКОЕ ОБЪЕДИНЕНИЕ

Уч. № 015

ГЕОЛОГИЧЕСКАЯ КАРТА СССР

МАСШТАБА 1:200 000

СЕРИЯ ПРИБАЙКАЛЬСКАЯ

Лист №-49-XIX

Объяснительная записка

Составитель В.И.Давыдов
Редактор Д.Ц.Цыренов

Утверждено Научно-редакционным советом ВСЕГЕИ
5 июня 1969 г., протокол № 33

МОСКВА 1983

СОДЕРЖАНИЕ

Стр.

Введение	5
Стратиграфия	7
Интузивные образования	28
Тектоника	42
Геоморфология	51
Полезные ископаемые	56
Подземные воды	65
Литература	67
Приложения	71

ВВЕДЕНИЕ

Территория листа №-49-ХIX ограничена координатами $53^{\circ}20'$ – $54^{\circ}00'$, с.ш. и $108^{\circ}00'$ – $109^{\circ}00'$ в.д. Значительная ее часть за-
нята водами Байкала, к которому с северо-запада и востока при-
мыкают небольшие участки суши. Первый участок относится к Оль-
хонскому району Иркутской области, а второй – к Баргузинскому
району Бурятской АССР.

Основными орографическими элементами рассматриваемой терри-
тории являются Байкальский и Святоносский хребты, разделенные
впадиной оз.Байкал. Почти в центре впадины расположен архипелаг
Ушканьих островов. Абсолютные высоты Байкальского хребта дости-
гают 2036,0 м, а Святоносского – 1877 м. Склон хребтов интен-
сивно расчленен, перепад высот варирует от 1100 до 1580 м. В
связи с этим горы имеют характерный альпийский облик. Бай-
кальская впадина имеет ширину по водному зеркалу 40–70 км. В
восточной стороне Байкала широким амфитеатром вдается в сушу
Баргузинский залив. Глубина Байкала в центральной части дости-
гает 1605 м, а в заливе – 1000 м.

Речная сеть развита слабо. Реки имеют небольшую протяже-
нность, не превышающую 10–15 км. Наиболее значительными из них
являются реки Крестовская, Бургуй, Рига, Шарттай.

Благодаря величине водных масс Байкала климат района не-
сколько смягчен, однако в горах из-за больших абсолютных высот
он резко континентальный. Снег ставит к середине июня, а
вновь покрывает верхнюю водоразделов уже в начале сентября.
Среднегодовая температура составляет минус $1,5^{\circ}\text{C}$. В течение го-
да выпадает 256–314 мм осадков, наибольшее количество их прихо-
дится на летние месяцы.

Район покрыт густым хвойным лесом, состоящим из лиственни-
ци, сосны, мешами кедра и пихты. Животный мир района разнооб-
разен. Здесь водятся медведи, лоси, козы, бекки, тулгары, куро-
ры.

ПОЛНЫХ ПОИСКОВО-СЪЕМОЧНЫХ РАБОТ МАСШТАБА 1:50 000 НА ЗАПАДНОМ

ПАТКИ, РЫБЧИКИ, УТКИ. Оз. Байкал богато нерпой, лежбища которой отмечаются на архипелаге Ушканых островов, омулем, скотом, осетром, окунем, сорогой. На описываемой территории промысловая добыча окули производится в Баргузинском заливе.

Населенных пунктов в районе нет. Только на о.Бол.Ушканый работает метеостанция, обслуживаемая несколькими десантами работников, и в летнее время в местечке Глинка открывается рыбоприемный пункт. В 0,5 км восточнее границы листа, в устье р.Баргузина, находится пос.Усть-Баргузин, связанный с г.Улан-Удэ шоссейной дорогой и авиалинией.

Изучение геологического строения района началось со второй половины XIX столетия. Первые сведения о нем получены И.А.Долатиным (1865), И.Д.Черским (1886). В 1902-1907 гг. поисками нефти вдоль восточного берега Байкала занимался В.Д.Рязанев, который выделил нефтеносный пояс от дельты р.Селенги до Баргузинского залива (Арсентьев, 1924). В 1914 г. п-ов Святой Нос посетил П.Эскола (Escola, 1921), впервые выделивший здесь андрадитовые синениты, названные святононитами. В 1939 г. п-ов Святой Нос был покрыт геологической съемкой масштаба 1:1 000 000 Б.А.Аверньоновым и Л.И.Салопом (1940). При этом были выделены святононитовая архея и граниты того же возрастта. В 1953 г. в истоках р.Лены В.Л.Мад (1954) проводил геологическую съемку масштаба 1:200 000. Предложенная им стратиграфическая схема трехчленного протерозоя разделяется большинством исследователей и в настолько же время. В 1951-1952 гг. (в зимний период) с целью выяснения перспектив нефтегазоносности были проведены геофизические работы в Баргузинском заливе и на Чивиркуйском перешейке под руководством А.Л.Бутинаса (1954). Однако перспективных структур выявлено не было. В дальнейшем, начиная с 1959 г., территория листа была заснята аэромагнитной съемкой масштаба 1:200 000 (Блаженцев, 1960), региональной гравиметрической съемкой масштаба 1:1 000 000 (Гусак, 1959); Попов, 1963) и двухканальной аэро-геофизической съемкой масштаба 1:50 000 (Шипилин, 1962; Муллов, 1966). С 1952 по 1955 г. на архипелаге Ушканых островов проводили геоморфологические исследования В.В.Ламакин (1961), а поиски и предварительную оценку месторождения мраморов проводил Е.С.Крылов (1956). В 1957-1959 гг. изучением стратиграфии и метаморфизма архейских пород п-ова Святой Нос занимались А.С.Есиков и С.Д.Хилько (Есиков, 1964). А.С.Есиковым была предложена новая схема стратиграфии архея, которая частично подтвердилась нашими исследованиями. В 1965 г. В.Г.Рыбаков и В.И.Устинов вы-

побережье Байкала (Устинов, 1967).

При составлении геологической карты и карты полезных ископаемых за основу принят материала автора по восточному (Давыдов, Давыев и др., 1967) и В.И.Устинова (1967) по западному побережью Байкала. При составлении карты полезных ископаемых использованы такие данные поисково-разведочных работ Е.С.Крылова (1956). Кроме того, при составлении карты и записки учтены материалы всех видов геофизических работ, проведенных на территории листа, и данные дешифрирования аэрофотоснимков. Дешифрируемость снимков плохая.

За исключением возрастных несоответствий, геологическая карта полностью связана с соседним листом по восточной границе. Так, ниже р.Баргузина мелководистые граниты на территории листа №-49-ХХ относятся к позднепротерозойскому комплексу (Циренов, 1965), а над ними рассмотриваются в составе раннепалеозойского комплекса. Кроме того, севернее этой реки, в пределах Чивиркуйского перешейка, Д.-Ц.Циреновым выделены нерастворенные верхнечетвертичные и современные аллювиальные пески, которые в пределах описываемого листа рассматриваются среди современных отложений. В Западном Прибайкалье в результате детальных работ, проведенных за последние годы (Устинов, 1967), на границе листов несколько пересмотрена принадлежность отдельных слоистых образований к тем или иным свитам. Это нашло свое отражение на геологической карте рассматриваемого листа, в связи с чем возникли некоторые расхождения с соседними листами №-48-ХХУ и №-49-ХХ.

СТРАТИГРАФИЯ

Стратифицированные образования на описываемой территории развиты на западном побережье Байкала, ульянских островах и на п-ове Святой Нос. Среди них выделяются три возрастные группы. К первой группе относятся мраморы крестовой, а также гнейсы и сланцы катковской свиты архея. Они слагают примерно третью п-ова Святой Нос. Ко второй группе относится протерозойские образования. В Западном Прибайкалье в основании видимой части разреза обнажаются в различной степени метаморфизованные песчаники и сланцы илектинской свиты саринской серии нижнего протерозоя. С резким угловым несогласием они перекрываются осадочно- vulkanогенными породами акитканской серии среднего протерозоя, а последние - конгломератами, песчаниками и доломитами голоустенской свиты

Сайкальской серии верхнего протерозоя. Карбонатные породы щельных островов и северо-восточной части п-ова Святой Нос, не имеющие себе аналогов в других частях рассматриваемой территории, условно отнесены к баргузинской свите котерской серии верхнего протерозоя. К третьей группе относятся пески с редкими пропластками бурых углей неогена (ольханская толща), развитые на северо-западном побережье п-ова Святой Нос, а также четвертичные рыхлые отложения, пользующиеся наибольшим распространением на Чивыркуйском перешейке.

А Р Х Е И С К А Я Г Р У П П А

Крестовая свита ($\Delta_{\text{н}^1}$). Породы крестовой свиты закартированы на п-ове Святой Нос в виде сравнительно небольшой (2, 5-4 км) полосы, прослеживающейся от восточной границы листа на юго-запад до северо-западного берега полуострова. Она сложена графитовыми мраморами с редкими прослоями гнейсов, кварцитов и сланцев. Однако из-за слабой обжленности участка разрез свиты проследить здесь не удалось. Полный ее разрез изучен нами в пределах хр. Безымянного на территории смежного листа №49-ХХХ (см. рис.).

1. Светло-серые среднекристаллические мраморы 70 м
2. Темно-серые мигматизированные биотитовые сланцы 15 м
3. Желтовато- и темно-серые мелко- и среднезернистые кварциты 25 м
4. Белые среднекристаллические слабо полосчатые мраморы 30 м
5. Серые и темно-серые мигматизированные биотитовые, гранат-биотитовые гнейсы 60 м
6. Белые, розовато-серые и светло-серые средне- и крупнокристаллические массивные, иногда полосчатые мраморы 125 м
7. Тонко переслаивающиеся белые, буровато-серые мраморы, кальциты и сланцы. Отмечается одничные прослойки роговообманково-пироксеновых гнейсов 50 м
8. Буровато-серые и серые среднекристаллические полосчатые мраморы 400 м.

Мраморы обладают гетеро- и гранобластовой структурой и массивной, иногда неотчетливо полосчатой текстурой. Состоит они

из доломита X/ - 4,2-39,6%, кальцита - 10,6-9,2%, графита - до 10%, кварца - до 10%, плагиоклаза, мусковита, тремолита, пироксена. Из акцессориев присутствуют сфен и рудный минерал.

По химическому составу среди них выделяются доломиты и известники со всеми переходными разновидностями.

Кальциты серые, буровато-серые, мелко- и среднезернистые, полосчатые, реже массивные породы. Структура порфиробластовая, гетеро-, участками невато- и лепидогранобластовая. Состоит они из моноклинного пироксена (до 30%), плагиоклаза (до 20%), актинолита (до 10%), тремолита (до 10%), карбоната (до 25%), оливин, реже форстерита (до 10%). Пироксен замещается хлоритом и эпидотом, а плагиоклаз - иногда серпентитом. Известково-силикатные минералы в породе распределены довольно равномерно.

Гнейсы и сланцы XX/ по составу разделены на биотитовые, гранат-биотитовые, роговообманково-пироксеновые и пироксеновые. Широко представлены плагиогнейсы. Макроскопически породы мелко-, среднезернистые, гнейсовые, местами полосчатые, тензо-серого и серого цвета. Структура их порфиробластовая, лепидо- и нематогранобластовая, участками гетерогранобластовая. Сложенны они плагиоклазом (20-50%), мицроклином (10-15%), кварцем (до 30-35%), биотитом (до 25%), пироксеном (до 25%), роговой обманкой (10-50%), гранатом (до 10%), графитом. Плагиоклаз местами замещается серпентитом, эпидот-цизитовыми минералами, карбонатом и отчасти мицроклином, пироксен-роговой обманкой, а она, в свою очередь, - хлоритом и мусковитом. Аццессорные минералы - сфен, апатит, титаномагнетит. В плагиогнейсах содержание мицроклина понижается до 2-5%, кварца до 15%. В сланцах присутствует в основном андезин (45-50%), роговая обманка (30-45%), моноклинный пироксен (до 25%) и кварц (до 2-5%). Довольно часто в породах встречаются послойные инъекции гранитного материала.

Кварциты имеют тензо-серый, реже розовато-серый цвет, массивную или сланцеватую текстуру. Структура гранобластовая, мозаичная, реже лепидогранобластовая. Главным породообразующим минералом является кварц (80-90%). В резко подчиненном количестве содержание карбонатов получено в результате пересчета химических анализов.

XX/ Всего за Н.В.Фроловой (1962) и др. к гнейзам отнесены породы, в состав которых, кроме различных темноцветных минералов, входит одинаково кварц и некоторые полевые шпаты. Сланцы состоят либо из одних темноцветных минералов, либо из темноцветных минералов, ассоциирующих с одним полевым шпатом или с кварцем.

стве присутствуют графит (5-15%), мусковит (до 5%), карбонат, полевой шпат, амфибол. Аксессорные - рутил, рудный минерал, сфен.

Катковская свита (4-6). Породы этой свиты распространены на л-ове Святой Нос в двух местах: в районе М.Ниж.Изголовье и на противоположном конце подустрофа, восточнее М.Орлового. Здесь они слагают сравнительно крупные провеси кровли среди гранитов и, кроме того, местами встречаются среди них в ксенонитах. В районе М.Орлового эти породы граничат с севера по разнице с карбонатами отложениями варнега протерозоя.

Наиболее полный разрез свиты сохранился в районе М.Орлового, где по долине бывшего ручья насыщается (снизу):

1. Мелко- и среднезернистые темно-зеленые биотит-роговообманковые плагиогнейсы, роговообманковые и роговообманково-гранат-биотитовые сланцы с редкими прослоями биотитовых плагиогнейсов 140 м
2. Крупнокристаллические графитовые мраморы с прослоями роговообманковых сланцев, амфиболитов и кальцифиризов. Мощность прослоев от 5 до 20 см. 150 "
3. Темно-серые с зеленоватым оттенком биотит-роговообманковые, реже роговообманковые и биотит-пироксеновые плагиогнейсы и сланцы с прослойми крупнокристаллических мраморов 260 "
4. Белые крупнокристаллические мраморы 40 "
5. Серые среднезернистые биотитовые и роговообманково-биотитовые гнейсы с прослойми роговообманковых гнейсов 210 "

Мощность по разрезу около 800 м.

В провесе кровли близ М.Ниж.Изголовье обнажена лишь часть приведенного разреза свиты, соответствующая первому и второму горизонтам. Видимая мощность разреза здесь не превышает 280 м.

Гнейсы по составу преимущественно плагиоклазовые, биотитовые, биотит-роговообманковые, роговообманковые, биотит-пироксеновые. Преобладают роговообманковые разновидности. Главные породообразующие минералы в них: олигоклаз-андезин № 25-32 (20-65%), кварц (15-25%), роговий обманка (5-35%), моноклинный пироксен (10-20%), биотит (до 15%). Аксессорные минералы - аплит, сфеин, циркон и рудный минерал.

В гнейсах довольно широко проявлены процессы замещения одних минералов другими: плагиоклаза - серцитом, мусковитом, эпи-

дотом, скаполитом, карбонатом; роговой обманки - биотитом, хлоритом, tremolитом; пироксена - роговой обманкой, биотитом, абиотита - хлоритом и мусковитом. Структура лепидо-, немато- и гетерогранобластовая, в инекциях - гласто-гранитовая. Текстура гнейсовойнная, реже полосчатая.

Сланцы отличаются от гнейсов более отчетливой сланцеватостью и составом. Структура их немато-, лепидогранобластовая, гетерогранобластовая и порфиробластовая. Сложенны они олигоклаз-андезином и андезином (до 65%), роговой обманкой (25-45%), моноклинным пироксеном (25-30%), биотитом (до 25%), гранатом (до 15-20%), редко кварцем (до 50%). Из аксессорных минералов отмечаются гранат, аплит, сфеин, циркон, рудный минерал. Вторичные изменения в сланцах выражены в замещении плагиоклаза серцитом, скаполитом, биотитом, эпидотом; роговой обманки - биотитом, хлоритом, tremolитом, актинолитом; моноклинного пироксена - роговообманкой. В одном случае среди моноклинного пироксена наблюдались реликты ромбического пироксена.

Амфиболиты - плотные, темно-зеленые, массивные, реже сланцеватые. Структура тетеронематобластовая, лепидогранобластовая. В их составе преобладает обыкновенная роговая обманка (до 95%), передко присутствует моноклинный пироксен (до 5-10%), андезин (до 40%). По роговой обманке развивается биотит, актинолит, эпидот, хлорит; по плагиоклазу - эпидот, серцит и мусковит, а пироксен почти надело амфиболизирован. Аксессории представлены аплитом и рудным минералом.

Встречающиеся в составе свиты мраморы и кальцифиры ничем не отличаются от соответствующих пород, описанных в крестовой свите.

Породы катковской свиты интенсивно мигматизированы и прорваны различными гранитоидами. При этом граниты позднего прорыва образуют в них согласные тела и лайки. Контакты в большинстве случаев резкие, хотя встречаются и инволюционные. В экзоконтакте некоторых ксенолитов отчетливо наблюдается чередование пачек мигматизированных гнейсов с пластообразными телами гранитов типа слоенного пирога. Мощность пачек гнейсов изменяется от 0,5 до 10-15 м, в пластовых гранитных тел - от 0,3-0,8 до 80 м. Граниты раннепалеозойского комплекса секут породы катковской свиты резко дискордантно, не счинаясь с их складчатой структурой.

Основными морфологическими типами мигматитов района М.Орлового являются грубоуподольные, а М.Ниж.Изголовье - брекчевые виды.

и псевдобрекчийные, ветвисто-милковатые и отчасти послойные.

Анализ парагенетических минеральных ассоциаций, характера структур и текстур показывает, что породы крестовой и катковой свит п-ова Святой Нос метаморфизованы в условиях амфиболитовой, отчасти гранулитовой фаций. Наряду с такими минеральными ассоциациями, как пироксен-плагиоклаз, биотит-пироксен-плагиоклаз (-кварц), пироксен-роговая обманка-плагиоклаз, роговая обманка-гранат-биотит-плагиоклаз (-кварц), гранат-окаполит-биотит-плагиоклаз (-кварц), биотит-плагиоклаз (-кварц-микроклин), по данным Д.Ц.Цыренова (1965) и А.С.Естака (1965) в гнейсах и ногтевидных реликтах гиперстена и некоторых других минералов гранулитовой фации, которые, видимо, сохранились в породах лишь благодаря незавершенному характеру диффторических реакций. Об этом свидетельствуют такие местами наблюдаемые в породах процессы замещения ромбического пироксена роговой обманкой и ибиотом, моноклинного пироксена — роговой обманкой, роговой обманки — биотитом, т.е. преобразования минеральных ассоциаций гранулитовой фации в типичные минеральные ассоциации амфиболитовой фации.

С метаморфизмом амфиболитовой фации было связано селективное плавление пород с широким развитием метасоматических процессов. В пользу последнего свидетельствует нахождение многочисленных пластообразных тел гнейсов, а также довольно выдержанной по простиранию полосы мраморов среди гранитоидов. Взаимоотношение пород катковской и крестовой свит в пределах площади листа не установлено, так как они пространственно разобщены, а в долине р.Крестовской имеет лишь тектнический контакт. Согласное налегание катковской свиты на крестовую и общность их структурного плана были отмечены Л.И.Салолов (1964) и И.И.Давыдов (1968) в хр.Безымянном. Характер залегания под обеих свит и их глубокий метаморфизм, что характерно также для аналогичных образований Ольхона, Прольхонья, нижнего течения р.Туруки и некоторых других районов Байкальской горной области, позволили предыдущим исследователям (Салоп, 1964; Ескин, 1965) и нам отнести их к архей.

НИЖНИЙ ПРОТЕРОЗОЙ

Сарминская серия

Отложения иллюктической свиты закартированы на водоразделе р.Лены и Байкала. Они слагают полосу шириной 8-9 км, протягивающуюся вдоль берега озера от долины р.Риты в северо-восточном направлении. По литологическим признакам эта свита довольно отчетливо расчленяется на две подсвиты. Нижняя подсвита ($Pt_1 i \ell_1$) выходит в прибрежной полосе оз.Байкал, в междууречье Риты — Шартлай. Видимая часть разреза подсвиты изучена севернее р.Шартлай. В ее составе преобладают сравнительно юонотонные по внешнему облику, но разнообразные по составу сланцы с редкими быстро выклинивающимися прослоями метаморфизованных песчаников. Последние чаще всего встречаются в верхах разреза подсвиты (Устинов, 1967).

Видимая мощность нижней подсвиты оценивается в 600-800 м. Сланцы хлорит-серicitовые, кварц-хлорит-серicitовые, карбонат-хлорит-полевошпат-кварцевые, слюдисто-карбонат-полевошпат-кварцевые, карбонат-хлорит-кварцевые, амфибол-полевошпат-кварцевые. Цвет их темно-серый, зеленовато-серый, голубовато- и розовато-зеленовато-серый, иногда с шелковистым блеском. Структура лепидогнефогранобластовая, немагнитолепидобластовая и гетерогранобластовая, реликтовая, псаммитовая, бластопсаммитовая и алевропсаммитовая. Текстура сланцеватая, плойчатая, участками полосчатая. Сланцы сложены либо только хлоритом и серицитом с небольшой примесью кварца, либо существенно кварцевым и временным материалом (30-65%), полевым шпатом (10-30%), карбонатом (10-20%), хлоритом (10-12%), серицитом и мусковитом (10-15%), амфиболом (10-35%), иногда глибитом (до 10%), реже биотитом. Более отеленные минералы представлены эпидотом, рудным минералом, апатитом, турилином; акессорные — цирконом, рутилом, сфеном, ортоклазом. В некоторых разновидностях сланцев часть обломочного материала и цементирующая масса перекристаллизована в гранобластовый агрегат полевошпат-кварцевого состава, среди которого в подчиненном количестве отмечаются хлорит, серицит, мусковит, карбонат, эпидот, рудный минерал. Полевой шпат представлен в основном албитом, реже серцитизированным олигоклазом, очень редко отмечается микроклин.

Песчаники метаморфизованные, полимиктовые, реже кварцевые, в основном мелковзернистые, массивные, местами слоистые и сланцеватые. Цвет темно-серый до черного. Структура бластопсамитовая, гранобластовая. Обломочная часть представлена плохо отсортированными, часто угловатыми зернами кварца (40–50%), кальевого полевого шпата (5–10%), плагиоклаза (10–15%). Зерна кварца частично корродированы. Цемент базальный, поровый, кварц-хлорит-серцитового состава, реке кварцевый регенерированный. Аксессорные – хорошо окатанный циркон и рудный минерал, реже сиден, апатит, турмалин.

Верхняя полоса свита (Рт₁ и Рт₂) распространена более широко. Ею сложена задораздельная часть Байкальского хребта вплоть до р.Лены. Разрез подсвиты наиболее полно представлен в верхнем течении р.Шартлы и на водоразделе его с р.Леной. Здесь обнаружены разнозернистые метаморфизованные песчаники, переслаивающиеся со сланцами. В других местах среди песчаников встречаются прислонки гравелитовых разновидностей и гравелитов. Залегает верхняя подсвита на нижней согласно с постепенным переходом. Мощность верхней подсвиты 1300–1700 м.

Песчаники и сланцы почти ничем не отличаются от соответствующих образований, описанных выше. Это в основном темно-серые, иногда черные и зеленовато-серые породы, сложенные кварцем, полевыми шпатами и слюдистыми минералами. Последние представлены хлоритом, серицитом и в меньшей мере мусковитом. Очень редко отмечаются зерна карбоната. Песчаники в большинстве случаев разнозернистые с блестящими и псевдо-блестящими структурами. Структура сланцев в лепидобластовой с реликтами псаммито-алевритового типа.

Гравелиты темно-серые, грубые и среднезернистые. Структура их бластопсифито-блестящая с лепидо- и микротранспортовой основной тканью. Обломочная часть представлена плохо окатанными зернами кварца, полевого шпата и полуокатанными обломками хилого кварца и песчаников. Цемент слюдисто-кварц-полевошпатовый базального типа.

Породы иллитинской свиты метаморфизованы в условиях фации зеленных сланцев. Песчаники близ интрузии раннепротерозойских гранитоидов местами слабо ороговикованы, а в сланцах появляются амфибол и слюды. Итога они совместно с песчаниками подвергены метасоматическим изменениям с образованием альбито-кремнистых пород, чаще всего приуроченных к зонам разрывных нарушений.

В правом борту долины р.Лены на порогах иллитинской свиты

с угловым и стратиграфическим несогласием залегают конгломераты малокосинской и кислые эфузивы хибленской свиты аkitканской серии среднего протерозоя, а в бассейне р.Риты с крупным угловым несогласием они перекрываются верхнепротерозойскими отложениями голустенской свиты. С другой стороны, в соседних районах иллитинская свита согласно подстилается харгитуйской свитой, возраст которой по находкам спор датируется нижним протерозоем (Мак и др., 1961). На основании этих данных иллитинская свита относится к нижнему протерозою.

СРЕДНИЙ ПРОТЕРОЗОЙ

АКИТКАНСКАЯ СЕРИЯ

Отложения среднего протерозоя слагают гораздо меньшую площадь, чем нижнепротерозойские, и расчленяются на малокосинскую, хибленскую и айансскую свиты, объединенные в аkitканскую серию. Малокосинская свита (Рт₂-мк). Породы свиты обнажены в правом борту долины р.Лены и в небольшом изолированном участке в верхнем течении р.Риты.

В правом борту р.Лены, по данным В.И.Устинова (1967), на песчаниках иллитинской свиты залегают (снизу):

1. Конгломераты лилово-серые с галькой молочно-белого кварца и сланцев 50 м
2. Песчаники полевошпат-кварцевые, разнозернистые, лилово-серые, с маломощными прослоями гравелитов и конгломератов 100 м
3. Песчаники полевошпат-кварцевые, разнозернистые, лилово-серые 250 м

4. Песчаники кварцевые, грубозернистые, со слабым лиловым оттенком 50 м
- Выше залегают эфузивы хибленской свиты.

Мощность свиты по разрезу 450 м.

В верхнем течении р.Риты мощность горизонта конгломератов, содержащих прослои разнозернистых песчаников, достигает 300–400 м. Выше их залегает горизонт зеленовато-лиловых алевролитов видимой мощностью 150–200 м.

Мощность свиты здесь 500–550 м.

Конгломераты валунно-гальечные, содержат обломки гранитов, кварцитов, песчаников, алевролитов. Цемент желто-, грубовернистый, полимиктовый, базальный. Окатааность и сортировка облом-

ков плоская. В составе цемента выделяются кварц (20–30%), полевой шпат (20%), обломки кварцитов, серцит, хлорит, эпидот, рудный минерал. Структура контгемератов псаммито-псевдофитовая.

Песчаники кварцевые, полевошпат-кварцевые, полимиктовые, разнозернистые, массивные, неогнетально сланцеватые. Структура псаммитовая. Обломочный материал представлен угловатыми неогнетальными зернами кварца (35–40%), полевого шпата (15–20%). Цемент сазальный, хлорит-серцит-эпидотовый. Акцессорные минералы представлены единичными зернами гематита, апатита, сфена, циркона. Песчаники местами переходят в гравелиты, которые от контгемератов отличаются лишь величиной обломков.

Алевролиты имеют алевритовую и псаммито-алевритовую структуру и несколько лучше сортименту материала. Часть алевролитов содержит не-красно-бурые окисиами железа. Часть алевролитов содержит не-значительно раскристаллизованный и слабо поларизующий пепловый материал зеленоватый или красноватый в отраженном свете.

В целом региональные метаморфические преобразования в породах малокосинской свиты проявлены слабо и заключаются в перекристаллизации цемента, серцитизации полевых шпатов, частичной регенерации обломочных зерен кварца. На контакте с прорывавшими их гранитами в песчаниках и гравелитах появляются новообразования биотита и местами амфибиона.

Малокосинская свита с резким угловым несогласием и глубоким разрывом залегает на породах нижнего протерозоя и в то же время перекрывает образования хибелинской свиты. В правом берегу долины р. Риты породы, характерные для малокосинской свиты, содержатся в гальке контгемератов голоустенской свиты. На этом основании она отнесена к среднему протерозою.

Хибелинская свита (Pt₂ ff). Эффузивно-туфогенные породы этой свиты зафиксированы по обоим берегам долины р. Лены. Нижняя граница ее установлена по горизонту темно-серых кварцевых и фельзитовых порфиров, залегающих на песчаниках малокосинской свиты (Устинов, 1967ф). В разрезе хибелинской свиты в левом борту долины р. Лены залегают (снизу):

1. Дилово- и зеленовато-серые алевритовые сланцы, алевролиты и туфовальеролиты 420 м
2. Темно- и коричневато-серые фельзитовые и кварцевые порфирь и их туфы 300 "

В правом борту долины р. Лены обнаруживаются только темно-серые кварцевые и фельзитовые порфирь и их туфы общой мощностью 460 м. Видимая мощность свиты превышает 700 м.

Кварцевые и фельзитовые порфирь распространены широко и слагают небольшие участки по обоим берегам долины р. Лены. В них на общем темном фоне, иногда с коричневым оттенком, выделяются хорошо отраженные кристаллы розового полевого шпата и оплавленные зерна кварца. Количество фенокристаллов местами достигает 25–30% от общего объема породы. Структура порфировая с фельзитовой и микрофельзитовой основной массой, текстура массивная, флюидальная. Фенокристаллы погружены в базис из неинтенсивно-изированного кварц-полевошпатового материала, обогащенного рудной пылью, мелкочешуйчатыи хлоритом и эпидотом. Наличие в базисе тонкорассеянного рудного минерала обусловливает темно-серый цвет породы. Из акцессорных минералов отмечается циркон, титаномагнетит, реже апатит.

Химический состав порфиров приводится в табл. I (Устинов, 1967ф).

Таблица I
Химический состав порфиров по А.Н. Заваричному

	Содержание окислов, вес. %				Числовые характеристики по А.Н. Заваричному
	1	2	3	4	
SiO ₂	73,56	68,60	72,45	69,7	а 14,8
TiO ₂	0,40	0,55	0,44	0,44	б 3,6
Al ₂ O ₃	12,83	14,02	12,02	14,12	с 0,2
Fe ₂ O ₃	2,31	2,41	2,11	1,83	в 81,4
FeO	0,30	2,98	0,36	1,54	а:с 74,0
MnO	0,01	0,10	0,08	0,04	Q 33,0
CaO	0,30	1,32	0,77	1,10	а' 29,6
MgO	0,24	0,95	0,52	0,40	с' -
K ₂ O	7,10	4,75	7,25	6,50	и' 11,1
Na ₂ O	2,30	3,48	2,70	3,75	г' 59,3
SO ₃	Нет сведений				65,7
P ₂ O ₅	0,05	0,09	0,07	0,07	и 20,8
П.п.п.	0,69	1,59	1,24	1,45	т 0,4
Σ	100,09	100,84	100,01	100,94	0,6

I–2 – фельзитовые порфирь: I – левобережье р.Лены; 2 – правобережье р.Лены; 3–4 – квадратные порфирь, левобережье р.Лены

Туфы лито- и кристаллохимические, по размерам обломочной части алевролитовые и псамmitовые; текстура массивная и сланцеватая. Обломки представлены кварцем, полевым шпатом, обломками туфовальеролитов и фельзитов. Сцепментированы они кварц-полевошпатовым микрозернистым агрегатом. Отмечается малоинтактный проход полевого материала, превращенного в кварц-хлорит-лидотовую пелитоморфную массу.

Алевролиты зелено- и лилово-серые, слойстые и массивные, иногда сланцеватые. Слоистость обусловлена чередованием слойков различной зернистости и цвета. Обломочная часть представлена зернами кварца, полевого шпата и более редкими обломками пород. Зерна угловатые, неправильной формы. Цемент базальный, кварц-серрилит-хлоритовый, с примесью эпидота и буровато-красных окислов алевритовой и псамmitо-алевролитовой.

Туфовальеролиты образовались из пеплового материала, иногда очень слабо раскаристализованного. Под микроскопом в их составе наблюдается слабо поляризующее вещество с тонкорассеянным рудным минералом. В отраженном свете оно имеет зеленоватую или буроватую окраску.

Породы хисбенской свиты слабо метаморфизованы, кальевые полевые шпаты во вкрапленниках местами албитизированы и сертизированы, а края кварцевых вкрапленников резорбированы; основная часть эпидотизирована, хлоритизирована, сертизирована и местами карбонатизирована.

А на и с к а я с в и т а. Эта свита слагает почти весь гольцовый массив левобережья р.Лены и представлена светло-серыми, сплошеватыми или слегка красноватыми песчаниками, бурвато- и пепельно-серыми туфопесчаниками, туфогравелитами и туфоконгломератами. Среди них присутствуют также черные или зеленые, изредка красноватые сланцы. Характерной особенностью свиты является резкая фациальная смена конгломератов песчаниками, песчаников сланцами и т.п.

По литологическим особенностям анайская свита подразделена на нижнюю и верхнюю подсвиты.

Нижняя подсвита (Pt_{2an1}) сложена песчаниками, гравелитами, участками отмечается туфопесчаники, туфогравелиты и туфоконгломераты с подчиненными прослоями сланцев. Мощность нижней подсвиты 400 м.

Песчаники и гравелиты обычно полевошпат-кварцевые, реже кварцевые, кварцитовидные и полимиктовые с незначительной, но

постоянной примесью оливиновых минералов. Характерна грубая плитчатая отделность, массивное, реже сланцеватое и псамmitосচающее строение. Структура пород гранобластовая, псамmitическая, псе-фито- псамmitовая. Зерна кварца и полевого шпата размером до 1 см плохо окатаны. Цемент kontaktовый, kontaktово-поровый се-рицит-полевошпат-кварцевый, кварцевый регенерированный, иногда с примесью хлорита и гидробиотита. В полимиктовых песчаниках количество обломков кварца уменьшается, увеличивается содержание полевых шпатов и обломков эфузивов, возрастает роль цемента. Аксессорные представители цирконом, турмалином, рутилом, рудным минералом.

Туфопесчаники, туфогравелиты и туфоконгломераты закартированы на крайнем северо-западе площади листа. На соседней территории (с запада) они отнесены к малогинской свите (Мац, 1961). По данным В.Г.Рыбакова (Устинов, 1967ф), эти породы имеют фациальный переход к псамmitо-псе-фитам рассматриваемой подсвиты. Обломочная часть в них (60-75%) представлена слабо окатанными и угловатыми зернами кварца, полевого шпата, обломками фельзита, микродельзита, туфовальеролита, кварцевого песчаника. Цемент бандальный, состоит из тонкозернистого кварц-полевошпатового агрегата с примесью пепла, иногда образующего отдельные прослойки. Из новообразований отмечается серрилит, мусковит, окислы железа.

Верхняя подсвита (Pt_{2an2}) закартирована западнее р.Риты и характеризуется преобразованием сланцев, переслаивающихся с песчаниками. Последние аналогичны песчаникам, описанным в нижней подсвите. Видимая мощность их 300-350 м.

Сланцы серрилит-хлоритовые, кварц-серрилит-хлоритовые, места-ми хлоритоидные, микрослоистые, псамmitосчные, тонколитча-тье, сланцеватые. Характерна микрогранулобластовая, лепидо-гранобластовая, порфиробластовая, участками сноповая структура. Сложенны они серрилитом, хлоритом, хлоритом и кварцем. Отмечаются также мусковит, биотит, рудный минерал и карбонат. Хлорит-ид и рудный минерал образуют обычно крупные выделения, а хлорит-сноповидные скопления.

Метагорфизм пород анайской свиты выражается в серийтации плагиоклазов, регенерации зерен кварца, раскристаллизации цемента, а также в появлении новообразований хлорита.

До последнего времени положение анайской свиты в общем разрезе среднего протерозоя Западного Присайкalia было определено. Считалось, что она залегает с разрывом на осадочно-вулканогенных породах антикан-

ской свиты, слагая ядро синклинальной структуры (Мац, 1961; Бухаров, 1966). В последнее время появились новые материалы (Салоп и др., 1968ф), согласно которым аянская свита фациально замещает хибеленскую. Аянская структура рассматривается как веерообразный (конвергентный) антиклиниорий и соответственно иначе дается стратиграфическая последовательность пород аянской свиты. Разрез ее начинается с хлоритоидных сланцев и завершается гравелитами и конгломератами.

В пределах описываемого листа решить этот вопрос окончательно не представляется возможным. Контакт между аянской и хибеленской свитами обычно закрыт, а в одном месте здоль контакта внедрилась даека диабазов. В целом же, судя по элементам залегания пород, устанавливается, что аянская свита залегает выше хибеленской. Однако присутствие в основании аянской свиты тuffогенных пород указывает, видимо, на продолжение вулканической деятельности в начале аянского времени и отсутствие перерыва в осадконакоплении этих двух свит.

ВЕРХНИЙ ПРОТЕРОЗОЙ

К верхнему протерозою отнесены отложения котерской и байкальской серий, находящихся в разных структурно-фаунистических зонах. По этой причине их взаимное положение не может быть точно установлено. Однако большинством исследователей котерская серия коррелируется с нижней (балаганской) подсерийей, а байкальская — с верхней частью средней (кадаликанской) подсерии патомской серии. На основании этих, по сути дела, очень далеких сопоставлений, баргузинская свита котерской серии в нормальном разрезе помещена ниже голоустенской свиты байкальской серии.

К от е р с к а я с е р и я

Баргузинская (?) свита ($Pt_3^f?$). Карбонатные породы этой свиты закартированы на архипелаге Ушканых островов и в прибрежной части п-ова Святой Нос, восточнее и. Орлового. На о. Бол. Ушканый, в районе бухты Лешерка, в разрезе свиты обнажаются (снизу):

1. Розовато-серые среднекристаллические мраморы. 110 м
2. Белые среднекристаллические мраморы. 90-100 м
3. Желтовато-серые среднекристаллические мраморы. 130 м
4. Зеленовато-серые хлорит-карбонатные сланцы 30 м

5. Серые тремолит-диопсид-карбонатные породы	40 м
6. Темно-зеленные амфибол-плагиоклавовые и амфибол-кварц-плагиоклавовые сланцы	60 м
7. Розовые мелкокристаллические песчанистые доломитовые известняки	45 м
8. Бледневые мелкокристаллические доломитистые известняки с прослоями конглобрекций	80 м
9. Пересялаивающиеся белые, серые, лепельно-серые, буровато-серые и кремевые мелко-, среднекристаллические известковые доломиты и доломиты.	240 м
10. Темно-зеленные и темно-серые хлоритовые, хлорит-серцитовые, тальк-хлоритовые сланцы.	115 м

Мощность по разрезу 940-950 м.

В центральной части острова среди карбонатных пород встречаются высокие мелкие обломки серых, голубовато-серых и зеленоватых кварцитов.

На п-ове Святой Нос карбонатные породы свиты имеют тектонический контакт с гнейсами катковской свиты. По составу и внешнему виду они являются полным аналогом карбонатных пород, развитых на архипелаге Ушканых островов. Судя по цвету, составу и структуре, они напоминают породы девятого горизонта описанного разреза. Кроме того, здесь в них наблюдаются крупные (до 3 см по длиной оси) кристаллы светло-серого шестоватого гранолита и стяжения кремния.

Видимая мощность свиты составляет 950 м.

Мраморы обычно мессиновые, реже полосчатые, слоистые. Структура гранобластовая, гетерогранобластовая, иногда зубчатая, нередко катакластическая. Сложены они кальцитом (5,7-93,7%), доломитом (4,1-100%), с примесью кварца и полевых шпатов (вместе до 56,5%), рудного минерала и треполита. Последний иногда наблюдается в виде крупных (до 3 см по длиной оси) шестоватых кристаллов.

Конглобрекции образуют невыдержаные пропластки среди розовых и зеленых доломитистых известняков мощностью 10-20 м. Обломки в них окатаны неравномерно и представлены белыми и розово-серыми мраморами размером от 0,5-1 до 5 см в поперечнике. Цемент карбонатный, псамитовый, базальный типа, розовато-серый.

Сланцы и карбонатные грубосланцеватые породы содержат в качестве главных минералов амфибол, плагиоклааз, хлорит, серицит, тальк, карбонат, кварц, иногда эпилот, треполит, диопсид, скapolит. Текстура их преимущественно сланцеватая, реже массивная.

Структура грано-, нематогранобластовая или гранолепидобластовая. Сланцы левого горизонта, видимо, являются ортопородами, так как в них местами устанавливаются реликты вулканогенных структур (Ескин, 1959).

Кварциты плотные, мелковзернистые. Под микроскопом, кроме кварца, в них наблюдаются отдельные чешуйки мусковита, реде хлорита и эпилот. Из акессорных минералов присутствует турмалин. Породы бартузинской свиты метаморфизованы в условиях фации эпилитовых амфиболитов и частично зеленых сланцев.

Единого мнения о возрасте карбонатных пород, развитых на архипелаге ушканьих островов и п-ове Святой Нос, нет. Так, И.Д.Черский отнес их к верхнему ярусу лаврентьевской системы, В.В.Ламакин же породы южной части архипелага отнес с архем, а северной — к протерозою (Ескин, 1959). По мнению А.С.Ескина (1959), по характеру метаморфизма и составу пород рассматриваемая толща не сползла с архем Прибайкалья. Поэтому он условно ее относит к нижнему протерозою. По нашему представлению, карбонатную толщу архипелага ушканьих островов и северной части п-ова Святой Нос следует считать верхнепротерозойской, ибо она близка к бартузинской свите не только по строению разреза, но и находится на продолжении полосы ее развития. На этом основании эта толща условно относится к бартузинской свите, от которой отличается только повышенной магнезиальностью.

Б а й к а л ь с к а я с е р и я

На описываемой территории, в верхнем течении р.Риты и в правом борту долины р.Лены картируются только терригенно-карбонатные породы голоустенской свиты.

Г о л о у с т е н с к у ю с в и т у обычно принятого расчленить на нижнюю, среднюю и верхнюю подсвиты. Однако из-за широкого развития в районе разрывных нарушений удалось выделить только нижнюю подсвиту, а две другие — остались не расчлененными.

Нижняя подсвита (Pt_3g_1) развита западнее р.Риты в виде узкой (150–200 м) полосы северо-восточного направления. Породы ее слагают также небольшие участки на обоих бортах долины р.Лены. Отдельные фрагменты разности разреза подсвиты, изученные в правом борту долины р.Риты, сведены в единый разрез, который имеет следующий вид (снизу):

I. Конгломераты темно-серые с галькой гранитов, порфиров, кварца, пещаников, алевролитов 5–10 м

2. Доломиты кремово-серые и светло-серые, скрато-

криSTALLИЧЕСКИЕ 30 м

3. Мергели лиловые и зелено-серые с маломощными глинистыми и доломитовыми прослойками 70 м

4. Известковые доломиты серые, мелковзернистые 85 м

Мощность по разрезу 190 м.

Конгломераты, залегающие в основании свиты, местами отсутствуют, и ее разрез начинается с кремово-серых доломитов мощностью от 20 до 50 м.

Мощность нижней подсвиты 150–200 м (Устинов, 1967).

Средняя и верхняя подсвиты (Pt_3g_2+3) закартированы преимущественно в узких тектонических блоках по правобережью рек Риты и Лены. Более полные разрезы этих отложений отмечаются в бассейне р.Риты, но здесь они сильно нарушены многочисленными разломами. В левом борту долины р.Лены выходит лишь часть разреза, представленная кварцевыми песчаниками и доломитами. В целом в составе подсвиты преобладают кварцитовидные и кварцевые песчаники, глинисто-алевритовые сланцы, доломиты и доломитовые известняки. На соседнем (с запада) листе (Мац, 1961) средняя подсвита сложена в основном светло-серыми кварцитовидными и карбонатно-кварцевыми песчаниками, верхняя — известняками и доломитами, которые подчинены горизонты кварцитовидных песчаников и глинисто-алевритовых сланцев.

Суммарная мощность средней и верхней подсвит 400 м. Конгломераты разрозненные, от мелко- до крупногальечных с редкими валунами. Текстура массивная. Среди обломков преобладают граниты и метаморфизованные песчаники, реже диабазы и диабазовые порфириты. Они полукатаны и хорошо окатаны, плохо отсортированы. Цемент полимитовый, базальный, средне- и крупнозернистый, кварц-полевошпатовый, с редкими обломками песчаников и фельзитов.

Доломиты плотные, мелковзернистые, тонкослоистые, желтовато-серого, светло-серого и грязевого цвета. По составу среди них выделяются известковистые и песчанистые разновидности. Слойены они доломитом (40–95%), кальцитом (до 15%), кварцем (до 20%), изредка — рудным минералом и графитом.

Пестроцветные мергели тонкослоистые, сланцеватые, предтавлены равномерно чередующимися красными, вишневыми, светло-зелеными, кремовыми прослойками то чисто известкового, то известково-глинистого состава. Иногда в них присутствуют новообразования хлорита.

Известняки темно-серые, пепельно-серые, пыльчатые, изредка слоистые, с тонко-, либо мелкозернистой структурой. Содержание магнезии в них иногда достигает 6,5-7%, а нерастворимого остатка - до 18-21%. В составе последнего отмечается кварц, полевой шпат и рудный минерал. По химическому составу выделяются чистые, доломитовые и песчанистые разновидности.

Песчаники светло-серые, иногда буровато-серые. Обычно они карбонатно-кварцевого или кварцевого состава, реже полевошпат-кварцевого. Текстура массивная, либо трубослоистая; структура средне- и мелкозернистая. Зерна хорошо окатаны и представлены кварцем, полевым шпатом, карбонатом. Изредка встречаются глинистые частицы, рудный минерал и турмалин. Цемент солрикосновения и поровый. Местами песчаники кварцитовидные с гетерогранобластовой структурой.

Глинисто-алевритовые сланцы темно-серые, реже зеленовато-серые, тонкоплитчатые, с очень тонкой слоистостью. Состоит из слабо поляризующего глинистого вещества и алевритовых зерен кварца.

Породы голоустенской свиты метаморфизованы очень слабо. Местами в них наблюдается лишь раскристаллизация цемента, регенерация зерен кварца и появление редких чешуек хлорита.

В Западном Прибайкалье голоустенская свита залегает с четвертыми стратиграфическими и угловым несогласием на породах акитканской серии среднего протерозоя и согласно перекрывает улунтуинской свитой, сменяющейся вверх по разрезу на чергатской. Последняя перекрывается базальными континерратами ушаковской свиты нижнего кембрия (Мац, 1961; Устинов, 1967).

ПАЛЕОЗОИСКАЯ ГРУППА

НЕОГЕНОВАЯ СИСТЕМА

Ользонская толща ($\text{No} \ell$). Неогеновые отложения закартированы на западном побережье п-ова Святой Нос.

Впервые они были установлены в 1965 г. Г.П. Володости (ИЗС СО АН СССР, устное сообщение) в бровке 9-четвертой террасы. Нами эти отложения прослежены вдоль берега на протяжении 16 км.

В основании видимой части их разреза наблюдаются буровато-серые разнозернистые пески с пропластками ила мощностью 1 м. Выше на них залегают (снизу):

I. Буровато-серые и серые мелкозернистые пески с прослойками галечников и гравия 1,5 м

2. Серые и светло-серые мелкозернистые пески, иногда с косой слоистостью потокового типа 0,7 м
 3. Светло-серые мелкозернистые пески с линзами гравия, гальки, илистого материала и с остатками обугленной древесины 2,8 "
 4. Переслаивание желтовато-серых и светло-серых мелкозернистых песков, часто сплоистых 3,0 "
- Местами в разрезе отмечаются пропластки бурых углей мощностью до 1 м.

В пробах, отобранных из этих отложений, установлены *X/ Tsuga sp.*, *Pinus sestostrobolis*, *Salix sp.*, *Alnaster*, *Saxua sp.*, *Corylus sp.*, *Alnus sp.*, *Castanea sp.*, *Ulmus sp.*, *Tilia sp.*, Ряд форм, свойствен палеогену и неогену: *Keteleeria sp.*, *Pterocarya sp.*, *Castanea sp.*, *Quercus sp.*, *Zelkova sp.*. Встречается также пыльца, характерная для всей кайнозойской эры: пихты, ели, сосновых, лиственницы. Среди пыльцы трав отмечается *Dierilla sp.*, *San-guisorba sp.*, *Ericaceae*, *Gramineae*, *Rosaceae* и др. Споры представлены *Lycopodium sp.*, *Polypodiaceae*, *Bryales sp.*, *Coniopteryx sp.*, *Botrychium sp.*, *Sphagnum sp.*. По разнообразию и количеству преобладает пыльца широколистных деревьев. На основании полученных данных рассматриваемые отложения вполне определено могут быть отнесены к неогену.

Шлиховым опробованием в песчаных и песчано-илистых отложениях неогена установлены в редких знаках и знаках циркон, рутил и в одной пробе шеелит.

Неогеновые отложения на всем протяжении перекрыты четвертичными делювиально-пролювиальными наносами и представляют собой, видимо, верхние части разреза довольно мощной (около 400 м) толщи *X/* озерно-болотных песчано-глинистых отложений, изученных С.М. Замараевым в Баргузинской впадине (Ширенов, 1965). На чиыркуйском перешейке (ур. Мятая Карга) неогеновые отложения, как и в Баргузинской впадине, перекрыты мощной толщей четвертичных осадков. По данным ВЭЭ (Булмасов, 1954), общая мощность рыхлых отложений на перешейке достигает 1000 м. По геоэлектрическим свойствам они расчленяются на два горизонта, имеющих сопротивление порядка 20 Ом·м (возможно, четвертичные отложения) и 40 Ом·м (возможно, неогеновые отложения).

X/ Спорово-пыльцевые анализы выполнены в ЕГТУ Э.И. Поставским (1967).
X/ Общая мощность неогеновых отложений принята в 100 м. ской колонки условно принята в 100 м.

КАИНОЗОИСКАЯ ГРУППА

ЧЕТВЕРТИЧНАЯ СИСТЕМА

Четвертичные отложения по генезису разделяются на аллювиальные, озерные, озерно-болотные, ледниковые и делювиально-проливиальные. Они отнесены к среднему плейстоцену и голоцену. Во впадине оз. Байкал на разрезах и картах показаны не расчлененные четвертичные отложения.

Среднечетвертичные (?) отложения (Q_{TII}?)

К среднечетвертичным отложениям отнесены боковые, донные и конечные морены, сохранившиеся в долинах рек Лены и Риты. Они представлены валунами и галечниками с примесью песка и суглинков. Валуны слабо окатаны, иногда покрыты редкой ледниковой штриховкой и достигают 1,5–2 м в поперецнике. Мощность моренных отложений не менее 25–30 м.

Аналогичные отложения, установленные севернее описываемой площади, отнесены к нижне- и среднечетвертичному времени (Бухаров, 1966), а находящиеся западнее – к средне- и верхнечетвертичному (Мац, 1961). В.Г. Рыбаков также считает, что отложение имело место в нижне-среднечетвертичное время (Устинов, 1967?). В Восточном Прибайкалье возраст ледниковых отложений горных долин определяется вполне однозначно. В северо-западном сорту Баргузинской впадины установлено наложение на них флювигляциальных отложений с остатками верхнечетвертичной фауны. Подстилаются они также фаунистически характеризованными нижнечетвертичными отложениями (Циренов, 1965). На основании этих данных описывающие ледниковые образования мы условно относим к среднему плеистоцену.

Верхнечетвертичные отложения в северо-западном сорту Баргузинской впадины установлено наложение на них флювигляциальных отложений с остатками верхнечетвертичной фауны. Подстилаются они также фаунистически характеризованными нижнечетвертичными отложениями (Циренов, 1965). На основании этих данных описывающие ледниковые образования мы условно относим к среднему плеистоцену.

Верхнечетвертичные отложения (Q_{TIII})

К верхнему плейстоцену отнесены озерные и озерно-речные отложения. Первые развиты на п-ове Святой Нос и на о. Бол. Ушканьи, где они слагают террасы высотой 5–15 м. На п-ове Святой Нос в разрезе озерных отложений установлены (видимая часть, снизу): I. Галька средних размеров с примесью гравия и песка. • I м

- | | |
|---|-------|
| 2. Грубоэзернистый песок с примесью гравия и линзами среднезернистого песка | 1,8 м |
| 3. Песок среднезернистый | 0,2 м |
| 4. Песок среднезернистый с примесью глины | 0,4 м |
| 5. Песок среднезернистый с линзами грубозернистого песка и гравия | 3,6 м |

Мощность по разрезу 7 м.
Озерно-речные отложения выделены в нижнем течении р. Баргута-Зин, где они сложены террасы высотой 8–10 м. Представлены они преимущественно среднезернистым песком с небольшой примесью галько-гравийного материала. С поверхности пески часто перевеяны. Принятый возраст этих отложений устанавливается только путем сопоставления их с аналогичными образованиями, развитыми к югу от рассматриваемого района, где они содержат остатки верхнечетвертичной фауны (Давыдов, 1968?).

Современные отложения (Q_{IV})

К голоценовым отложениям относятся руслоный и пойменный аллювий, озерные, озерно-болотные и делювиально-проливиальные образования. Широкие низины на Чивыркуйском перешейке, узенькие долины озер, заполнены речными и озерно-болотными осадками, находящимися в тесном парагенезисе. Здесь развиты пески и песчано-глинистые насоны, обогащенные растительными остатками. Мощность голоценовых отложений здесь не менее 20 м.
Аллювий в горных отрезках долин представлен валуно-галечниковыми и песчаными наносами. В долинах рек Крестовской и Онгокон преобладает песчаный материал.
Проливиальные и делювиальные современные отложения приурочены к предгорным наклонным рavinам. В устьях рек Риты и Шарты-Лая или сложены конусы выноса, вдающиеся в Байкал в виде небольших мысов. В подножьях гор они состоят из валунов и гальчников с прослойями разнозернистого песка. С удалением от них во владинах и широких долинах состав отложений становится существенно песчаник и глинисто-песчаным с линзами гальчики.

Нерасчлененные отложения отложения (Q_{IV})

Нерасчлененные отложения, как уже отмечено выше, показаны только на разрезах к картам. Залегают они во впадине Байкала и на Чивыркуйском перешейке. В пределах последнего они перекрыты чехлом современных озерно-болотных осадков.

Разрез четвертичных отложений в Байкальской владине неизвестен, с помощью грунтоносов исследован лишь I-II м верхней его части. Характер донных отложений, по данным Б.Ф.Луга (1964), закономерно изменяется с глубиной. Грубообломочный материал мелководий по мере удаления от береговой линии и увеличения глубины сменяется песчанистым, который, в свою очередь, переходит в алевритовую фракцию. Самая глубокая (абиссальная зона) представлена тонкими илами.

На Чивыркуйском перешейке в районе оз. Мал. Арангатуй (несколько восточнее описанного листа) четвертичные отложения в 1905-1907 гг. были пробурены на глубину 360 м (Рязанов, 1928). Разрезов по скважинам не приводится. Отмечается только, что скважины углубились в типичных береговых байкальских наносах, представленных средне- и крупнозернистыми песками с галькой, мелами с примесью глины и ила. С глубины 67 м наблюдалось более тесное чередование илистых, глинистых и песчаных прослоев. Эти породы отнесены к нерасчлененным четвертичным отложениям.

ИНTRУЗИВНЫЕ ОБРАЗОВАНИЯ

Инtrузивные породы широко развиты на п-ове Святой Нос. На западном побережье Байкала они имеют подчиненное значение и слагают небольшие участки. По характеру взаимоотношений друг с другом, с метаморфическими породами архея и протерозоя, а также на основании сопоставления с аналогичными образованиями соседних районов, все инtrузивные образования разделены на раннепротерозойские, среднепротерозойские (ирельский комплекс, а также дайки и мелкие тела основных пород), позднепротерозойские (баргузинский комплекс) и раннепалеозойские (витимканский комплекс).

ГРАНИТЫ ($T_3 Pt_1 m$)

К муйскому комплексу отнесены породы кислого и основного состава, развитые на западном побережье Байкала. Формирование комплекса происходило в две фазы: в более позднюю — кислые. По аналогии с соседними районами (Салоп, 1967), основные породы отнесены ко второй, а кислые — к третьей фазам комплекса.

Разрез четвертичных отложений в Байкальской владине неизвестен, с помощью грунтоносов исследован лишь I-II м верхней его части. Характер донных отложений, по данным Б.Ф.Луга (1964), закономерно изменяется с глубиной. Грубообломочный материал мелководий по мере удаления от береговой линии и увеличения глубины сменяется песчанистым, который, в свою очередь, переходит в алевритовую фракцию. Самая глубокая (абиссальная зона) представлена тонкими илами.

На Чивыркуйском перешейке в районе оз. Мал. Арангатуй (несколько восточнее описанного листа) четвертичные отложения в 1905-1907 гг. были пробурены на глубину 360 м (Рязанов, 1928). Разрезов по скважинам не приводится. Отмечается только, что скважины углубились в типичных береговых байкальских наносах, представленных средне- и крупнозернистыми песками с галькой, мелами с примесью глины и ила. С глубины 67 м наблюдалось более тесное чередование илистых, глинистых и песчаных прослоев. Эти породы отнесены к нерасчлененным четвертичным отложениям.

ИНTRУЗИВНЫЕ ОБРАЗОВАНИЯ

Инtrузивные породы широко развиты на п-ове Святой Нос. На западном побережье Байкала они имеют подчиненное значение и слагают небольшие участки. По характеру взаимоотношений друг с другом, с метаморфическими породами архея и протерозоя, а также на основании сопоставления с аналогичными образованиями соседних районов, все инtrузивные образования разделены на раннепротерозойские, среднепротерозойские (ирельский комплекс, а также дайки и мелкие тела основных пород), позднепротерозойские (баргузинский комплекс) и раннепалеозойские (витимканский комплекс).

ГРАНИТЫ ($T_3 Pt_1 m$)

К муйскому комплексу отнесены породы кислого и основного состава, развитые на западном побережье Байкала. Формирование комплекса происходило в две фазы: в более позднюю — кислые. По аналогии с соседними районами (Салоп, 1967), основные породы отнесены ко второй, а кислые — к третьей фазам комплекса.

Между этими фазами наблюдаются секущие контакты (Устинов, 1967).

Вторая фаза

Наиболее древними инtrузивными образованиями на описываемой территории являются измененные диабазы и габбро-диабазы, которые слагают небольшое тело в междущечье Риты — Шарталая. Оно имеет неправильную форму, несколько вынутую в северо-восточном направлении. Многочисленные мелкие ксенолиты этих пород наблюдаются также по правобережью р. Риты среди гранитов в третьей фазы этого комплекса.

Диабазы и габбро-диабазы ($V\beta_2 Pt_1 m$) — темно-зеленые рассланцованые, реже массивные породы. Структура их лепидо- и немагнитранобластовая, участками реликтовая диабазовая и габбро-диабазовая. Первичные минералы пород сохранились лишь местами. Представлены они плагиоклазом, пироксеноидом и оливином, почти нацело замещенными амфиболом, хлоритом, эпидотом, альбитом, карбонатом, серпентином и соссусритом. Аксессорные минералы — сфен, апатит, ортит, магнетит.

Третья фаза

К третьей фазе относятся биотитовые и биотит-амфиболовые граниты, реже плагиограниты, развитые по правобережью р. Риты среди пород ильинской свиты. От гранитов отходит во множестве породы многочисленные апофизы в виде сотовых и субсотовых ким.

Граниты ($T_3 Pt_1 m$) светло-серые, серые и розово-серые, мелко- и среднезернистые, массивные, редко гнейсвидные. Структура оливогранитовая, бластокластическая, участками гранобластовая с реликтами гипидроморфозернистой. Состоит они из плагиоклаза (40-65%), микроклина (20-30%), кварца (20-35%), биотита, амфибола, мусковита (вместе до 10-15%). Вторичные минералы — хлорит, серцицит, эпидот, альбит, лейкоксен, окислы хематита; акцессорные — апатит, циркон, сфен, ортит. В плагиогранитах содержание калиевого полевого шпата снижается до 10%.

Хильные призводные ставы предстают дайками плагиогранита ($T_3 Pt_1 m$), которые наблюдаются как в экзоконтакте среди пород ильинской свиты, так и внутри массива. Мощность даек колеблется от 5-8 см

до 2-5 м, простирание их преимущественно северо-восточное, т.е. согласно с простиранием складчатых структур вмещающих пород. Внешне - это серые мелкозернистые породы, состоящие из плагиоклаза (50-75%), кварца (20-25%). Вторичные минералы - мусковит, карбонат, альбит; акцессорные - циркон, апатит, рутил, рудный минерал.

Для гранитоидов муйского комплекса характерен катаклаз. Часто среди них наблюдаются бластомилониты и гнейсо-граниты очковой текстуры.

Химический состав гранитов муйского комплекса приводится в табл. 2.

Таблица 2

Содержание окислов, вес. %	Числовые характеристики по А.Н. Заварину			
	1	2	1	2
SiO ₂	68,45	68,71	a	14,4
TiO ₂	0,50	0,67	b	7,0
Al ₂ O ₃	15,54	15,20	c	1,9
Fe ₂ O ₃	1,02	0,98	s	76,7
FeO	2,19	2,19	a:c	7,6
MnO	0,03	0,03	Q	25,1
CaO	1,60	1,34	a'	28,6
MgO	1,27	1,41	c'	-
K ₂ O	4,50	4,85	m'	30,5
Na ₂ O	3,70	3,93	f'	40,9
P ₂ O ₅	0,11	0,10	n	55,6
П.п.п.	1,41	1,22	φ	II,4
Σ	100,32	100,63	t	0,5

I,2 - биотитовые граниты, правобережье р. Риты (Устинов, 1967).

Граниты пересыпаны глинистым и кремниевым, умеренно богаты и бедати шелочами. По спектральным анализам скважин в них установлены: цинк - до 0,01%, свинец и медь - 0,001-0,01%, кобальт - до 0,06%, никель - до 0,003%, молибден - до 0,0003%, вольфрам - до 0,0003%.

Нижняя возрастная граница пород муйского комплекса определяется на основании прорывания ими нижнепротерозойских осадочно-метаморфических пород и ликтинской свиты. При этом песчаники вolithы контакта иногда ороговикованы. Верхняя возрастная граница устанавливается присутствием пород комплекса в гальке контломератов малокосинской свиты, развитых в верхнем течении р. Риты (Устинов, 1967).

СРЕДНЕПРОТЕРОЗОЙСКИЕ ИНТРУЗИИ

Ирельский комплекс

К этому комплексу относятся крупнопорфиробластические граниты и кварцевые диориты, развитые на водоразделе р. Риты и Байкала. Здесь они слагают довольно крупный (около 8 км²) массив среди пород ликтинской свиты.

Гранодиориты и кварцевые диориты - это серые, зеленовато-серые, темно-серые, розовато-серые массивные крупнозернистые, часто порфиробластические породы. Порфиробласты представлены крупными удлиненными кристаллами калиевого полевого шпата. Размеры их по длинной оси достигают 1-3 см. Структура гипидиоморфновзернистая, участками областогранитовая, гранобластовая и порфиробластовая. Главными породообразующими минералами являются плагиоклаз (35-45%), калиевый полевой шпат (15-30%), кварц (до 15%), хлоритизированная роговая обманка и биотит (до 20%). Из вторичных минералов присутствует серицит, хлорит, эпидот, лимонит, карбонат, кварц, пеллит. Аксессорные представлены апатитом, цирконом, сфеном, рудным минералом.

В эндоконтакте массивов этих пород часто наблюдаются гибридные образования, благодаря чему гранодиориты и кварцевые диориты нередко связаны с внешними породами постепенными переходами. В гибридных породах увеличивается количество темнозветлов (до 25-30%) и несколько снижается содержание плагиоклаза (до 35%).

Жильные природы в виде пород ирельского комплекса представлены единичными маломощными (от 0,3 до 2-10 м) дайками лейкократових гранитов (l_{Pt_2}). Приурочены они преимущественно к периферии массива материнских пород. Макроскопически эти граниты серые и розово-серые, мелкозернистые, массивные. Структура гипидиоморфновзернистая. Глав-

ные породообразующие минералы в них: плагиоклаз (60–70%), кварц (25–30%), кальций полевой шпат (15–20%). Вторичные минералы развиты довольно широко и состоят из серицита, хлорита, систита, эпидота. Из акцессорных отмечаются циркон, апатит, ортит.

Химический состав порфиробластических гранодиоритов, взятых в верхнем течении р.Риты (среднее из 12 анализов, Устинов, 1967), приводится в табл.3.

Таблица 3

Содержание окислов, вес. %	Числовые характеристики по А.Н. Заварницкому
SiO ₂	62,42
TiO ₂	1,03
Al ₂ O ₃	15,22
Fe ₂ O ₃	2,83
FeO	3,59
MnO	0,05
CaO	2,10
MgO	2,61
K ₂ O	3,43
Na ₂ O	3,43
P ₂ O ₅	0,24
П.п.п.	2,74
Σ	99,69
a	12,4
b	12,9
c	2,7
s	72,0
a:c	4,6
Q	16,5
a'	21,2
c'	-
m'	34,4
f'	44,4
n	60,5
q	18,0
t	1,0

По химическому составу породы сравнительно меланократовые, пересыщены глиниевым и кремнеземом, очень бедны цеолочками. Спектральным анализом сколов в них определены (в %): свинец и кобальт – до 0,006, цинк – до 0,01, медь – до 0,008, никель – до 0,003, молибден – до 0,0005, олово – до 0,001, вольфрам – до 0,002 и барий – до 0,04. Среднепротерозойский возраст пород комплекса установлен –ется довольно определенно. В долине р.Риты нами наблюдалось прорывание порфиробластическими гранодиоритами конгломератов и песчаников малокосиной свиты среднего протерозоя. В вершине

этой же реки гранодиориты содержатся в тальке конгломератов голубостенской свиты верхнего протерозоя (Устинов, 1967).

Дайки и мелкие тела основных пород

Дайки и штоки основных пород, представленные диабазами и диабазовыми порфиритами, широко распространены в верховье р.Лены. Они залегают в основном согласно со структурами вышеизложенных осадочно-метаморфических пород нижнего и среднего протерозоя и ориентированы на северо-западного, субширотного и субмеридионального простирания. Мощность даек колеблется от 1–2 до 40–50 м, по простириям они прослеживаются до 3–5 км. Кроме даек наблюдаются мелкие штоки и дайкообразные тела обычно с многочисленными ответвлениями во вмещающие породы.

Дайки (μ-Pt₂) темно- и зелено-серые до черных, имеют массивное, реже сланцеватое строение. Структура обитовая, габбро-оббитовая, призматическая-зернистая, пойкилофитовая, порфировая. В диабазовых порфиритах на общем темно-зеленом фоне иногда довольно четко выделяются вкрапленники (до 3 мм) плагиоклаза и пироксена (40–50%). В качестве второстепенных минералов присутствуют кварц, ортоклаз и роговая обманка. Вторичные минералы представлены хлоритом, эпидотом, соссусритом, карбонатом, серпентитом, албитом, лейкоксеном, серпентитом; акцессорные – ильменитом, магнетитом, сфеном, апатитом. Среди измененных разновидностей выделяются метаморфизованные диабазы, оргосланцы и ортоамфиболиты. Для них характерна гетерогенно- и гранобластовая или гластодиабазовая структура.

Химический состав этих пород приводится в табл.4 (Устинов, 1967).

По petroхимическим особенностям диабазы и диабазовые порфириты относятся к породам нормального ряда; они насыщены и слабо пересыщены кремнеземом, очень бедны цеолочками. По своему химическому составу отвечают диабазам по Р.Дэни. По данным спектрального анализа, в них содержатся (в %): свинец – до 0,006, медь – до 0,04, кобальт – до 0,008, никель – до 0,01, молибден – до 0,003, сарий – до 0,06 и олово – до 0,001.

Таблица 4

Этот комплекс делится на две фазы, между которыми наблюдаются секущие контакты (район пос. Глинико).

Содержание окислов, вес. %	Числовые характеристики по А.Н. Заваричному					
	1	2	3	I	II	3
SiO ₂	50,57	49,48	49,24	a	5,4	3,8
TiO ₂	1,49	1,02	0,73	b	29,0	33,8
Al ₂ O ₃	13,51	10,91	16,58	c	6,4	5,4
Fe ₂ O ₃	4,45	7,86	3,90	s	59,2	57,0
FeO	8,87	7,38	7,81	a:c	0,8	0,7
MnO	0,19	0,13	0,12	Q	1,2	1,0
CaO	10,73	9,68	10,96	a'	-	-
MgO	5,67	8,12	4,18	c'	23,2	18,9
K ₂ O	1,00	0,10	0,08	m'	33,3	40,3
Na ₂ O	1,75	1,68	1,17	f'	43,5	40,8
P ₂ O ₅	0,13	0,08	0,10	t	71,9	96,5
П.п.п.	1,33	Св. нет	x/	n	13,3	19,7
	99,69	96,44	94,87	φ	2,0	1,5
Σ				t	1,1	1,1

I - диабаз, источники р. Шартлы; 2,3 - диабазовые порфириты, левобережье р. Лены.

Нижняя возрастная граница основных пород определяется по прорыванием ими пород антиклинской серии и ирельского комплекса. Факты такого прорывания наблюдались во многих участках района. С другой стороны, эти породы перекрыты отложениями голоустенской свиты и встречаются в галлье их континераторов (Мац, 1961; Устинов, 1967). На этом основании описываемые диабазы и диабазовые порфириты относятся к среднему протерозою.

ПОЗДНЕПРОТЕРОЗОЙСКИЕ ИНТРУЗИИ

БАРГУЗИНСКИЙ КОМПЛЕКС

Гранитоиды этого комплекса слагают больше половины территории п-ова Святой Нос и являются лишь частью крупного plutона.

Х/ суммы подсчитаны без п.п.п.

Первая фаза

Первая фаза представлена сравнительно однородными по внешнему облику биотитовыми и амфибол-биотитовыми гранитами, которые слагают небольшой массив, расположенный ниже р. Крестовской.

Граниты ($1_1 F_{13} B_1$) серые, розовато-серые. В них на фоне среднеэзернистой основной массы обычно наблюдаются крупные (до 1-3 см) порфиробласты розового микроклина, равномерно расположенные по породе. Структура гранитов порфиробластическая, гранитовая и областогранитовая, текстура массивная и нечетчильно гнейсовидная. Гнейсовидность подчеркнута линейным расположением мелких цепочек биотита и устанавливается лишь на выветрелой поверхности. Граниты сложены плагиоклазом (20-60%), микроклином (30-35%), кварцем (25-35%), биотитом (5-10%), редко амфиболом (до 5%). Вторичные минералы - серцит, хлорит, редко эпидот и альбит; акцессорные - сфен, анатит, циркон. По составу преобладают нормальные граниты, редко наблюдаются плагиограниты, в которых количество микроклина снижается до 5-10%.

Вторая фаза

Образование второй фазы представлено средне- и мелкоэзернистыми лейкократовыми, биотитовыми и биотит-амфиболовыми гранитами, граносинектическими, редко кварцевыми синекитами, которые по сравнению с породами первой фазы развиты более широко. Выходят они в центральной части полуострова на площади около 300 км² и подвергены значительным изменениям. Последнее обстоятельство сильно затрудняет диагностику пород в полевых условиях и при картировании нам не удалось их расчленить на петрографические разновидности. Только установлено, что граносинекиты и кварцевые синекиты преобладают над гранитами южнее среднего течения р. Крестовской, близ змеющихся карбонатных пород архея.

Граниты ($1_2 F_{13} B_1$) серые, светло-серые, мелкоэзернистые, массивные и гнейсoidные. Структура порфиробластическая, гранитовая, альтроинорфозернистая и бластогранитовая. Состоит они из микроклина (30-35%), альбит-олигоклаза (20-25%), кварца (25-30%), биотита и амфиболя (вместе до 3-7%). На контакте с по-

родами катковской свиты в гранитах иногда появляются редкие мелкие зерна этирин-авгита. Вторичные минералы представлены альбитом, хлоритом, эпидотом, реже серицитом. Аксессорные – апатит и рудный минерал.

Граносиенит и кварцевые сиениты ($\text{Al}_2\text{Pt}_3\text{f}_4$) серые и светло-серые, преимущественно лейкократовые среднезернистые массивные и гнейсивидные. Структура аллогигроморфно-зернистая, участками метасоматическая. Состоит они из микреклина (25–30%), альбит-олигоклаза (до 35%), кварца (10–15%), биотита и роговой обманки (до 5%). Вторичные минерали – альбит, шахматный альбит, хлорит и серицит; акцессорные – апатит и рудный минерал.

Для пород второй фазы очень характерна гнейсивидная текстура, обусловленная параллельным расположением слагающих их минералов. Часто она ориентирована в северо-восточном направлении, местами параллельно контакту с вмещающими породами. В гранито-дах также широко проявлены метасоматические процессы, которые выражаются в микроплензации, в замещении микроклина шахматным альбитом, плагиоклаза – альбитом, в позывании кварц-альбитовых прожилков по микротрещинам. Биотит и амфибол почти не замещены хлоритом и эпидотом.

Хильтинеиты пронизывают вторую фазы пред-
ставлены пегматитами. Они прорывают породы второй фазы и про-
странственно тяготеют к ним, будучи ориентированы в северо-восто-
чном и субмеридиональном направлении. Мощность или не превышает 1–2 м, а протяженность 15–25 м.

Пегматиты ($\rho_2\text{Pt}_3\text{f}_4$) разрознено-серые среднезерни-
стые. Кипл их имеет простое зональное строение. Краевая зона
сложена микреклин-плагиоклазовым пегматитом гранитной структуры,
а центральная часть – кварцевым ядром с реликтами микроклина и
иногда единичными мелкими (до 1,5×2 см) кристаллами мусковита.

Химический состав гранитов баргузинского комплекса приво-
дится в табл. 5.

Граниты первой фазы (I) относятся к породам нормального ра-
да, пересыщены кремнеземом и богаты щелочами. Гранитоиды второй
фазы (2,3) пересыщены и слабо пересыщены кремнеземом, богаты и
умеренно богаты щелочами, принадлежат к породам нормального ра-
да и пересыщены глиноzemом. Гранитоиды обеих фаз комплекса,
по данным спектрального анализа, характеризуются почти одинако-
вым содержанием ряда элементов (в %): титан – до 0,2, марганец –
до 0,06, хром – до 0,03, никель – до 0,002, ванадий – до 0,01,

свинец – до 0,006, цинк – до 0,001, берил – до 0,1 и стронций –
до 0,02.

Таблица 5

	Содержание окислов, вес. %			Числовые характеристики по А.Н.Заварзикому		
	I	II	III	IV	V	VI
SiO ₂	70,90	75,62	64,17	а	15,3	14,0
TiO ₂	0,30	Не обн.	0,17	б	5,2	2,0
Al ₂ O ₃	14,50	14,27	19,37	с	1,5	2,1
Fe ₂ O ₃	1,37	0,51	0,36	в	78,0	81,9
FeO	1,14	0,07	0,86	а,с	10,2	6,7
MnO	0,04	0,05	0,06	q	23,9	33,7
CaO	2,28	0,73	3,27	а'	—	76,8
MgO	1,17	Не обн.	0,51	с'	20,2	—
SO ₃	Не обн.	0,03	0,06	ш'	36,7	—
K ₂ O	4,15	3,99	5,30	г'	43,1	23,2
Na ₂ O	4,45	4,05	4,85	п	62,0	61,0
P ₂ O ₅	0,08	0,03	0,09	ф	21,5	20,0
П.п.п.	0,24	0,33	0,16	т	0,4	0
Σ	100,62	99,68	99,23			0,2

I – ортнезернистый портупластический гранит, верхина р.Уркты (Давыдов, 1968); 2 – мелкозернистый гранит, западное подберегье р.Богдана Нос; 3 – квартцевый сенит, п-ов Святой Нос.

Гранитоиды баргузинского комплекса прорывают породы аркей II, в свою очередь, рвутся гранитоидами раннего палеозоя. Такие взаимоотношения между ними наблюдаются в районе село Ильиново, Орловый, а также в долине р.Крестовской и в ряде других мест. От нихне- и среднепротерозойских гранитоидов они отличаются внешним обликом, минеральным составом и петрологическими особенностями. В то же время они хорошо сопоставляются с аналогичными образованиями соседних районов, прорвавших верхнепро-

тероазийские осадочно-метаморфические толщи (Малишева, 1963; Петров, 1961), на основании чего данные гранитоиды отнесены к верхнему протерозою.

РАННЕПАЛЕОЗОЙСКИЕ ИНТРУЗИИ

ВИТИМКАНСКИЙ КОМПЛЕКС

В пределах территории листа пород этого комплекса имеет ограниченное распространение и сосредоточено в основном на юго-восточном склоне хр. Святоносского. Становление витимканского комплекса произошло в две фазы, между которыми наложены четкие интрузивные контакты.

Первая фаза

Образования первой фазы представлены амфиболовыми, биотит-амфиболовыми, реже лейкократовыми гранитами, гранодиоритами и сланцоносителями. Они образуют мелкие тела неправильной и изометричной формы, расположенные южнее р. Крестовской. Тела неправильной формы приурочены в основном к городам Катковской свиты, а изометричные — к гранитоидам баргузинского комплекса.

Граниты ($\text{I}_1\text{Pz}_1\text{v}^t$) слагают большинство массивов первой фазы. Микроскопически они серые, розово-серые, крупно- и среднезернистые, массивные, преимущественно порфиробластические. В районе М. Ниж. Изголовье они густо насыщены порфиробластами розового каплевого полевого шпата. Структура гранитов порфиробластовая гранитовая, аplitогранитовая и зернистая, участками троубластовая. Составят они из микроклина (30–40%), плагиоклаза (15–20%), кварца (30–35%), биотита и амфибола (до 5–10%). Вторичные минералы — серцин, хлорит, альбит, пеллит, альбигессорные — апатит, циркон, сфен, редко ортит. Порфиробласти представлены микроклин-перитом, наполненным включениями минералов основной массы.

Гранодиориты ($\text{I}_2\text{Pz}_1\text{v}^t$) слагают небольшое согласное тело в районе М. Ниж. Изголовье и очень редко встречаются среди гранитов, с которым связаны постепенными переходами. Это серые и темно-серые среднезернистые массивные породы, обладающие порфиробластовой гранитовой и гипидиоморфнозернистой структурой. Главные пордообразующие минералы в них — плагиоклаз (до 70%), кварц (10–15%), роговая обманка (до 10%), микроклин-пер-

тил (10–15%). Вторичные минералы — биотит и хлорит; акцессорные — апатит, циркон, ортит, торит. Порфиробласти представлены микроклином.

Святоноситы ($\text{I}_1\text{Pz}_1\text{v}^t$) или андрадитовые сиени-ти. по П. Э. школе, выделены в пределах небольшого массива на северо-западном побережье п-ова Святой Нос. Массив сложен амфиболовыми гранитами, которые на контакте с гнейсами, содержащими многочисленные мелкие прослои мраморов, переходят в сиениты с андрадитом. В гнейсах вблизи контакта наблюдаются порфиробласти ортоклаза, участками новообразования альбита и эпидота. Святоноситы розово-серые среднезернистые массивные. Структура их порфиробластическая, основной массы — замещения, катакластическая и цементная. Минеральный состав: ортоклаз-перит (60%), альбит-одноклаз (25%), андрадит (10%), эпидит-авит (5%). Присутствуют также эпидот (до 7%), серцин, карбонат, гематит, отдельные зерна кварца; акцессорные — апатит, сфеин, титаномагнетит, циркон и ортит. Ортоклаз-перит образует порфиробласти размером до 0,6х1 см. Он же отмечается в отдельных зернах и в основной массе. Гранат присутствует в виде порфиробласта размером до 2–3 мм в полеречнике. Эпидот, карбонат и гематит заполняют трещинки в породе, пересекающие также порфиробласти ортоклаза и граната. Наблюдения над взаимоотношениями минералов (в шлифах) показывают, что святоноситы образовались в основном метасоматическим путем. Однако не исключена возможность возникновения их путем математического замещения. Но в дальнейшем они были метасоматически изменены и катаклазированы.

По аналогии с соседними с юга районом (Давыдов, 1968), к породам первой фазы отнесено также несколько даек микродиоритов, развитых в районе М. Ниж. Изголовье среди пород катковской свиты. Мощность их 5–8 м, падение вертикальное. По простиранию они не проходят.

Микродиориты ($\mu\delta\text{-Pz}_1\text{v}^t$) темно-серые мелко- и тонкозернистые массивные. Структура гипидиоморфнозернистая. Состоит они из андезина (50–60%), пироксена (до 20%), роговой обманки (до 15%). Из вторичных минералов отмечается биотит; акцессорные — апатит, рудный минерал, реже сфеин.

Вторая фаза

Образование второй фазы представлены мелкозернистыми биотитовыми и лейкократовыми гранитами. Они слагают более крупные

аналогичными образованиями, развитыми в Северном Прибайкалье и на Витимском плоскогорье, где они прорываются фаунистически охарактеризованные кембрийские отложения (Циренов, 1962; Давыдов, 1963).

Таблица 6

	Содержание оксидов, вес. %				
	1	2	3	4	5
SiO ₂	71,80	55,38	68,37	70,40	71,42
TiO ₂	0,22	0,56	0,24	0,27	0,20
Al ₂ O ₃	15,07	17,87	16,03	15,76	15,20
Fe ₂ O ₃	0,90	4,58	1,07	1,04	0,40
FeO	0,94	1,65	1,43	1,24	1,22
MnO	0,03	0,32	0,11	0,06	0,09
CaO	1,25	9,15	1,72	1,13	1,76
MgO	0,86	0,76	0,27	0,76	0,32
SO ₃	Н.о.	0,06	0,04	Н.о.	0,06
K ₂ O	4,30	4,19	5,97	4,30	4,46
Na ₂ O	3,70	3,35	3,33	4,40	3,79
P ₂ O ₅	0,05	0,25	0,08	0,08	0,08
П.п.п.	0,25	0,41	0,63	0,54	0,38
Σ	99,37	98,53	99,29	99,98	99,38

Числовые характеристики по А.Н.Заварщикову					
a	14,0	14,2	16,0	15,5	14,6
b	5,6	12,9	4,1	5,6	3,4
c	1,4	6,3	2,0	1,3	2,1
v	79,0	66,6	77,9	77,6	79,9
a:c	10,0	2,2	8,0	11,9	6,9
Q	28,6	-7,8	21,8	22,9	28,5
a'	45,9	-	33,4	41,7	38,0
c'	-	42,1	-	-	-

массивы, чем породы первой фазы, и развиты как на п-ове Святого Нос, так и на юго-восточном побережье Баргузинского залива. Массивы обычно имеют неправильную форму и часто вытянуты в северо-восточном направлении. Мелкие тела гранитов этой фазы, как правило, приурочены к зонам разрывных нарушений.

Граниты ($\text{I}_{2}\text{Fz}_1\text{vt}$) - сравнительно однообразные розово-серые массивные породы, имеющие довольно свежий облик.

Структура гранитовая, гипедиоморфно-зернистая. Главные породообразующие минералы: микроклин и макроклин-перлит (30-35%), олиго-клас (до 30%), кварц (30-35%), биотит (до 7%). Вторичные минералы представлены серпентитом, амфиболом, хлоритом и реже альбитом; акцессорные - сфена, апатит, рудный минерал, изредка гранат.

Жилы не проходят в первой фазе гранитов предстолбчатой зоне и представлены мелкозернистыми гранитами и аplitами. Длины этих пород имеет мощность от 0,15 до 5-8 м, протяженность по зонам - до 500-800 м.

Граниты ($\text{I}_{2}\text{Fz}_1\text{vt}$) и аplitы ($\text{I}_{2}\text{Fz}_1\text{vt}$) розовые, розово-серые, мелкозернистые, массивные. Структура их соответствует гранитовой и аplitовой. В отличие от гранитов этой фазы они содержат больше калиевого полевого шпата (до 45-50%) и биотита (до 10%), меньше шпатоклаза (до 15%). Количество кварца почти такое же, как в материнских гранитах. Вторичные изменения выражены в следующей серийизации и эпидотизации плагиоклаза, отчасти калиевого полевого шпата и хлоритизации биотита. Аксессорные минералы - апатит, сфен, рудный минерал и редко ортит.

Химический состав гранитоидов витимского комплекса приводится в табл. 6.

В целом породы первой (1) и второй (3-5) фаз пересечены глиноzemом и кремнеземом, умеренно богаты и богаты цеолитами. Калий в них преобладает над натрием. Сыгноноциты (2) лейкократовые и слегка недонасыщены кремнеземом. По результатам спектрального анализа сколов породы комплекса содержат (в %): марганец - до 0,06, хром - до 0,005, никель - до 0,001,cobальт - до 0,001, vanадий - до 0,003, оинец - до 0,003, цинк - до 0,006, барий - до 0,08, бериллий - до 0,0003 и калий - до 0,001.

На описываемой территории породы витимского комплекса являются самыми молодыми образованиями и прорывают метаморфические породы архея и гранитоиды саргутинского комплекса. Факты такого прорывания наблюдались во многих местах полуострова. К раннему палеозою они отнесены на основании сопоставления их с

Продолжение табл. 6

	1	2	3	4	5
м'	24,7	10,5	10,0	22,6	14,0
т'	29,4	47,4	56,6	35,7	48,0
п	56,6	54,5	45,8	60,7	56,2
ф	14,1	32,2	21,7	14,3	12,0
т	0,2	0,7	0,2	0,3	0,2

I - порфиробластический гранит, м. Ниж.Изголовье; 2 - андрадитовый сиенит, западное побережье п-ова Святой Нос; 3,4 - мелкозернистые граниты, северо-восточнее м.Ниж.Изголовье; 5 - лейкократовый гранит, п-ов Святой Нос.

ТЕКТОНИКА

По тектонической схеме Л.И.Салопа (1967), рассматриваемый район располагается в пределах Байкальской глыбы архея, окруженной складчатой системой Байкала, которая прошла сложный геосинклинальный путь от раннего протерозоя до среднего кембрая включительно. Как показывают результаты наших исследований, в отдельные этапы геологического развития территории описываемая часть глыбы также вовлекалась в геосинклинальное погружение. Об этом можно судить хотя бы по наличию верхнепротерозойских отложений (бергунинская свита), сохранившихся в отдельных опущенных тектонических блоках, и широкому развитию гранитоидов баголитовой формации позднего протерозоя (баргузинский комплекс). Только к концу протерозоя она, по-видимому, окончательно оформилась как консолидированное складчатое сооружение. Подтверждается это, во-первых, отсутствием нижнепалеозойских осадков и, во-вторых, трещинным характером интрузий гранитоидов витиманского комплекса. В кайнозое эта стабилизированная область была вовлечена в аркогенетические движения (по Е.В.Павловскому, 1953 и Н.А.Флеренсову, 1960).

В целом на территории листа выделяются архейский, нижне-, средне-, верхнепротерозойский и кайнозойский структурные ярусы (рис. I).

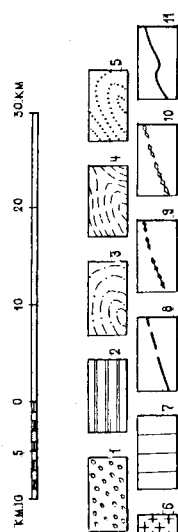
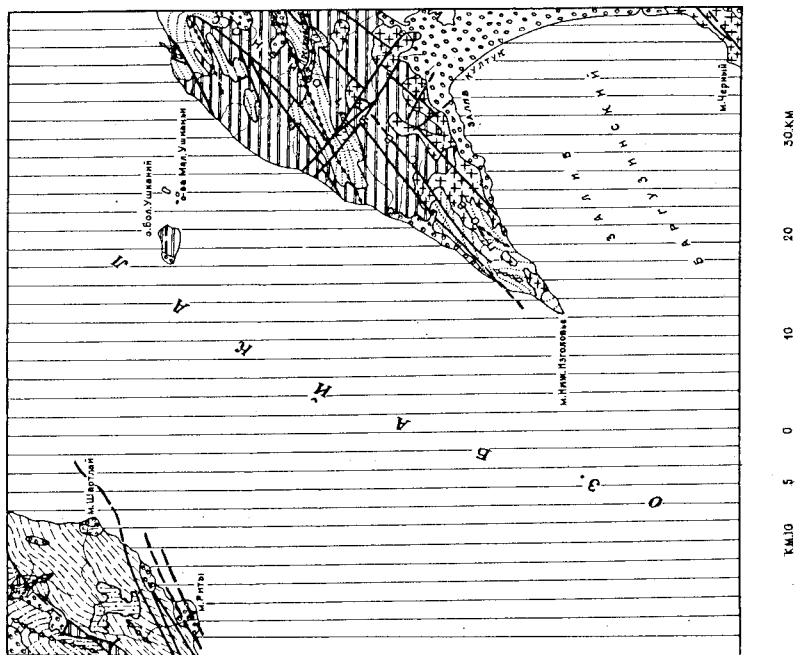


Рис. I. Тектоническая схема

1-5 - структурные ярусы: 1 - кайнозойский, 2 - верхнепротерозойский, 3 - среднепротерозойский, 4 - нижнепротерозойский, 5 - архейский; 6 - ранний палеозой; 7 - впадина байкальского типа, занятая акваторией оз. Байкал; 8 - разрывные нарушения; 9 - оси антиклиналей; 10 - оси синклиналей; 11 - границы структур

Архейский структурный ярус

Архейские отложения обнаруживаются только в пределах Байкальской глыбы. Байкалская глыба расположена в центре территории листа. Северо-западный ее край, ограниченный Приморским разломом, проходит вдоль озерного склона Байкальского хребта, а юго-восточный – по юго-восточным предгорьям хр. Сытновосского. Большая часть глыбы занята акваторией Байкала. На П-ове Святой Нос архейский комплекс граничит с гранитоидами баргузинского и витимского комплексов. Архейские породы смты в систему линейных складок первого порядка выделяются Сытновосская антиклиналь.

Святоносская антиклиналь может быть восстановлена лишь в общих чертах, так как щекотне архейские образования выходят в виде разобщенных пропилов среди более поздних гранитоидов. Тем не менее довольно четко устанавливается общее северо-восточное (65°) ее простирание. В ядре антиклинали выходят мраморы крестовой свиты, которые в виде непрерывной полосы прослеживаются среди гранитоидов в центральной части полуострова. На крыльях ее обнажаются гнейскогатковской свиты, которые слагают отдельные пропилы в районе мысов Ник.Изголовье и Орловый. Таким образом, по этим разрозненным выходам пород удается реконструировать данную структуру в самых общих чертах. Зато одоложившие ее складки второго и более высокого порядков выражены отчетливо и наблюдаются непосредственно в обнажениях. Складки второго порядка представлены несколькими типами. В районе М.Ник.Изголовье фиксируется серия антиклинальных и синклинальных складок, частично опрокинутых на северо-запад. В районе М.Орлового (с прилегающим материковым Д.Циренова, 1965) установлены узко смты антиклинальная складка, также несколько опрокинутая, но уже к юго-востоку. По-видимому, эти более мелкие структуры принадлежат к складкам волотчения, развитым на крыльях крупной антиклинального типа.

Мелкие складки и плошки, развитые на крыльях более крупных структур, отличаются резкой асимметрией и очень осложненной формой. В целом все эти складки различным образом сочетаются друг с другом, обусловливая довольно общую общую структуру архейского комплекса.

Нижнепротерозойский структурный ярус

Нижнепротерозойский структурный ярус характеризуется структурами выдержанного северо-восточного простирания, развитыми на прилегающих склонах Байкальского хребта. Стратифицированные образования Ильинской свиты залегают в северо-западном (опрокинутом в этом же направлении) крыле крупной Хайрем-Покойской антиклинали на относительно к Байкальскому антиклиниорию второй порядка (Устинов, 1967ф). Крыша антиклинали на изученной территории достигает 10 км, а протяженность при северо-восточном ($30-50^{\circ}$) его простирании – 20 км. Гадение склонов на юго-восток под углами $20-50^{\circ}$. Задикстровано несколько флексураобразных изгибов, развитых в этом крыле антиклинали. Севернее М.Шартлей простирание пород меняется от 60 до 20° , а в бассейне р.Риты – от северо-восточного ($30-60^{\circ}$) до северо-западного ($280-300^{\circ}$). Кроме того, крыло осложнено складками еще более высокого порядка, которые особенно отчетливо видны в обрывистых бортах долины рек Риты, Шартлей и других более мелких водотоков. Складки различного типа: от пологих главных до сильно сжатых, местами опрокинутых.

С нижнепротерозойским диагпозионом связано внедрение основных пород и гранитоидов муйского комплекса.

Среднепротерозойский структурный ярус

Среднепротерозойский структурный ярус представлен лишь отдельными антиклиналями северо-восточного простирания, развитыми в среднепротерозойских отложениях. Наиболее крупной из них является Аналская складка (Устинов, 1967ф), которая на отсыревшую территорию заходит лишь своим северо-восточным центральным окончанием. Выделяя ширину складки составляет $4,5-5$ км, а протяженность ее в пределах площади листа – 10 км. Ядро структуры сложено сланцами верхней подсвиты, а крылья – песчаниками и более трубообломочными породами нижней подсвиты аналитской свиты. Со стороны центрально-нортового залегания города Аналыской свиты подстилаются эфузивами хибелиенской свиты. Складка асимметрична: юго-восточное крыло падает на северо-запад под углами $30-50^{\circ}$, редко $60-70^{\circ}$, а северо-западное – на юго-восток под углами $15-30^{\circ}$. Наблюдается

пологое погружение тарнира синклинали к юго-западу под углом 5–25°. Интересно отметить, что к северо-западу от реки Лены и реки Аналайская синклиналь испытывает S-образное изгибание в плане.

Следующая синклиналь, представленная юго-западным центрально-клинальным окончанием, расположается в верховьях р. Лены. Она сложена грубообломочными породами малокосинской и вулканогенными образованиями хибелинской свиты. Шарнир складки погружается в северо-восточном направлении.

По данным А.А.Бугаркова (1966) и других исследователей, с вулканитами хибелинской свиты генетически связаны гранитоиды ирельского комплекса. Небольшие их тела на рассматриваемой площади находятся среди пород илектинской и малокосинской свит. В конце среднего протерозоя произошло внедрение многочисленных даек и мелких тел основных пород. В илектинской свите они образуют согласные и резко разрушенные залежи. Часть даек внедрилась по контакту малокосинской и хибелинской, хибелинской и андайской свит.

В Восточном Прибайкалье, по мнению большинства исследователей, в среднепротерозойское время вся эта область была приподнята и представляла собой область питания соседних районов обломочным материалом.

Верхнетретерозойский структурный ярус

Верхнетретерозойский структурный ярус в районе верхнего течения р.Лены представлен отложениями голоустенской свиты, а на п-ове Святой Нос и ушанских островах – карбонатными породами баргузинской (?) свиты. Довольно широко в Восточном Прибайкалье развиты также гранитоиды баргузинского комплекса.

Породы голоустенской свиты сохранились в пределах несольких тектонических блоков, приуроченных, по данным В.Г.Рыбакова (Устинов, 1967), к юго-восточному крылу Хайрем-Риштинской синклинали и калининской. Почти повсеместно слойность голоустенской свиты падает на северо-запад под углами 30–60°. В долине р.Риты установлены ряд мелких антиклиналей. Некоторые из них опрокинуты на юго-восток.

На архипелаге ушанских островов карбонатные породы баргузинской свиты при общем падении на север и северо-восток (10–40°) под углами 50–80° осложнены более мелкими складками раз-

личной ориентировки. На п-ове Святой Нос породы баргузинской свиты выходят в тектоническом блоке, в пределах которого наблюдается часть синклинальной складки. При этом ось складки ориентирована в северо-восточном направлении (30°), а крылья падают под углами 47–70°. Осложнющие мелкие складки более высоких порядков относятся к складкам волочения и скольжения и обладают очень сложной морфологией. Рассмотренные структуры баргузинской свиты мелкие и являются, видимо, частью более крупной синклинальной складки. Пространственно они расположаются на юго-западном продолжении Баргузино-Котурского синклиниория, сложенного породами котерской серии (Салоп, 1967).

В верхнем протерозое, в период главной фазы складчатости, произошло внедрение гранитоидов баргузинского комплекса, становление которого происходило на большой глубине. Об этом можно судить по гнейсовидным текстурам гранитов и их инъекционным контактам с вмещающими породами.

Кайнозойский структурный ярус

По схеме Н.А.Флоренсова (1960), рассматриваемая территория входит в состав Байкальской переходной суперплатформенной зоны, активизированной в неогене. В кайнозое в этой зоне очень интенсивно проявлялись неотектонические движения, приведшие к образованию крутых структурных форм, которые развивались на жестком основании. В пределах листа кайнозойские структуры представлены горными поднятиями Байкальского и Сытакосского хребтов, а также Байкальской впадиной и разрывами разрывными нарушениями.

Байкальская впадина, по мнению Л.И.Соловьева (1967), была заложена в позднем плейстоцене. Рараположена она в осевой части Байкальского оводового поднятия и вытянута в orientation с его простиранием. Байкальская впадина подводной грядой отчетливо делится на Илано- и Северо-Байкальскую котловины. Подводная гряда расположена примерно в центре впадины и ориентирована в северо-восточном направлении. Часть гряды выстуপает над водой в виде архипелага Ушканьих островов. Гряда представляет собой, возможно, узкий тектонический блок (или горст), который образовался на границе относительно менее глубокой Северо-Байкальской котловины с очень глубокой Илано-Байкальской. В формировании Байкальской впадины основную роль сыграла, по всей вероятности, разрывная тектоника. Северо-западный борт ее образован Приморским обрывом, значительная часть которого открыта под

водами Байкала. Видимо, разломами обусловлены блоковое строение дна впадины и тектоническая обособленность п-ова Святой Нос. Впадина имеет сравнительно крутые подводные борта, однако геофизическими данными это полностью не подтверждается.

Магнитное поле над описываемой частью Байкальской впадины отрицательное (рис. 2). Несколько повышенные значения его (от 0 до минус 2 мЭ) характерны для подводной гряды, Северо-Байкальской котловини и частично для Баргузинского залива. Минимальные значения (минус 2-5 мЭ) фиксируются над Ирено-Байкальской котловиной и п-овом Святой Нос. Северо-западнее оз. Байкал наблюдается положительное (от 0 до 2 мЭ) магнитное поле. Такие различия в распределении значений магнитного поля, по-видимому, соответствуют крутым тектоническим блокам. Мелкие же блоки не фиксируются.

По данным А.П.Булгасова, глубина залегания кристаллического ложа впадины в южной котловине достигает 5000 м (от уровня мирового океана), а максимальная глубина озера, установленная здесь же, составляет 1620 м. Следовательно, мощность рыхлых отложений в Байкальской впадине достигает 3500-4000 м.

На описываемой территории от оз. Байкал отходит небольшая межгорная впадина, отделяющая п-ов Святой Нос от восточного побережья. Часть впадины занимает Баргузинский залив и Чивиркуйский перешеек, составляющие вместе с Чивиркуйским заливом, расположенным за пределами территории листа, единую депрессию. С северо-запада и юго-востока борта ее окружены разломами. Ширина ее изменяется от 10 до 30 км, а протяженность - 70 км. По данным геофизических работ (Булгасов, 1954), ось этой структуры погружается с северо-востока на юго-запад. В поперечном сечении поле силы тяжести над ней имеет симметричное строение, что, по мнению авторов, свидетельствует о наличии прогиба в фундаменте. По гравимагнитным исследованиям установлено, что кристаллический фундамент Баргузинского залива имеет сравнительно спокойный рельеф, а ложе Чивиркуйского перешейка более интенсивно расщеплено.

По данным ВЭЗ, на перешейке мощность рыхлой неоген-четвертичной толщи достигает 1000 м, а в западе глубина до фундамента составляет 1800 м при мощности осадочной толщи в 700 м.

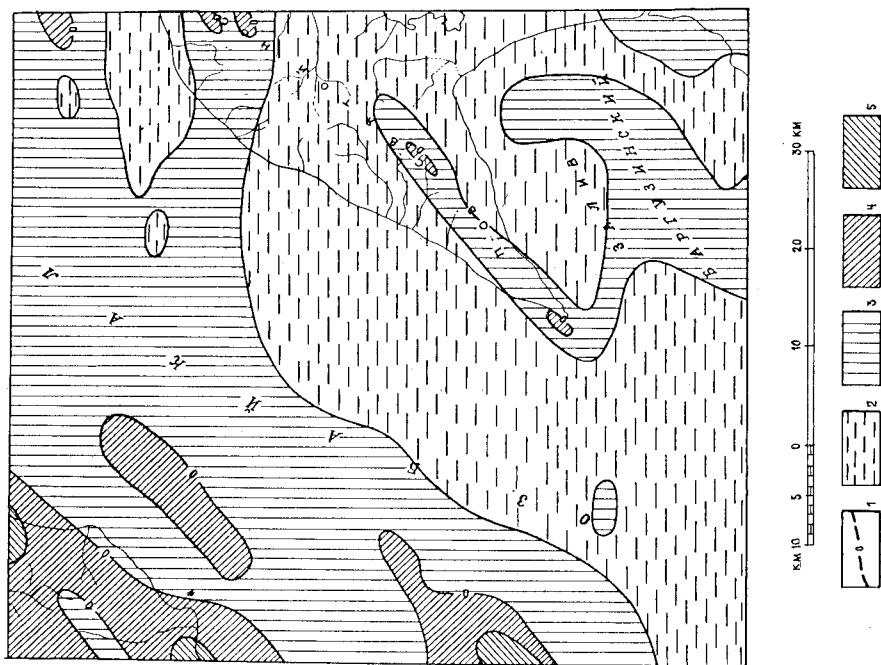


Рис. 2. Схема аномального магнитного поля.
Составил В.И.Батынцевый

Значения ΔT (в мЭ): 1 - нулевые; 2-3 - положительные;
2-(-2), 3-(-2)-0, 4-5 - отрицательные: 4-0-2, 5 - более 2,

Разрывные нарушения

Разрывные нарушения играют заметную роль в тектоническом строении района. Их контролируются конфигурации современного берега Байкала. Господствующими являются разломы северо-восточного направления, которые почти повсеместно выражены в рельефе. Разломы северо-западного направления, как правило, не отражаются в рельефе и установлены в большинстве случаев по катаклизмам, милюнитам и зеркалам скольжения. Среди разрывных нарушений северо-восточного направления выделяются две зоны разломов на п-ове Святой Нос и Приморский сброс, протягивающийся вдоль северо-западного берега Байкала.

Зона разломов на п-ове Святой Нос представляет собой серию субпараллельных разломов. Ширина этих зон изменяется от нескольких сотен метров до 1,5-2 км. Продолжены они на расстоянии 35-40 км. Плоскости смещения разломов в северо-западной части полуострова падают на северо-запад, а в юго-восточной — на юго-восток. В рельефе эти разломы выражены хорами, якоря, сопровождаются катарактазом и эпилогизацией кристаллических пород. Амплитуда смещения по ним оценивается некоторыми сотнями метров. В ряде мест к ним приурочены разломы тела гранитоидов витимканского комплекса, но и последние иногда бывают затронуты ими. Севернее М.Ниж.Изголовье этими разломами разорваны слои неогеновых отложений, что свидетельствует об активной жизни разломов в кайнозойское время.

Приморский сброс, по данным В.И.Устинова (1967), проходит в прибрежной части оз.Байкал и на интересующей нас территории окреп под его водами. Он был заложен в пижаном прогорозе и вдоль него происходило внедрение кислых и основных пород ранне- и среднепротерозойских интрузивных комплексов. Из оперюющих его отструктур можно отметить сброс, проходящий через истоки рек Риты и Лены и прослеживающийся (в пределах площади листа) по зеркалам скольжения и дробленым породам на 20 км. В правом борту долины р.Лены он выражен в рельефе. Плоскость смещителя его падает на северо-запад под углами 50-70°, амплитуда смещения достигает 1 км. Параллельно этому разлому отмечена серия сбросов и взбросов, разделяющих голустенскую свиту на ряд узких блоков. Амплитуда смещения по нем достигает десятков и сотен метров.

В нижнем течении р.Риты наблюдается зона мионитизации и тектонизаций пород, ориентированная на северо-восток 55-60°. Ширина

зоны 2-2,5 км. Границы в пределах ее местами превращены в очковые гнейсы.

Как уже отмечалось, разломы на севере — за — падают на правлены, которые почти повсеместно выражены в рельефе. К ним относится зона разломов, прослеживающаяся на п-ове Святой Нос от пос.Кулино до северо-западного его берега. Представлена она серией разрывов, смешавших разломы северо-восточного направления. В отдельных местах к ней приурочены мелкие тела гранитоидов витимканского комплекса. Очевидно, она зародилась в дипалеозовское время, но поднялась в палеозое и даже в кайнозое. По характеру смещений эти разломы следуют относительно преимущественно к сбросам.

В настоящее время район переживает активную тектоническую жизнь, о чём свидетельствуют многочисленные сейсмотектонические структуры, установленные как на западном, так и на восточном побережье Байкала. Тектонические разломы находятся на конусах выхода рек Риты и Шартлай, а также в пределах неогеновых отложений на п-ове Святой Нос.

По схеме В.П.Солоненко (1968), описываемый район входит в состав сейсмических полосов с 8-10-балльными землетрясениями.

ГЕОМОРФОЛОГИЯ

Основные типы рельефа района сформированы под воздействием кайнозойских дифференцированных тектонических движений, в результате которых образовались крупные хребты и межгорные впадины. В дальнейшем первичные формы рельефа подвергались действию различных экзогенных агентов. На склонах хребтов преобладали процессы эрозии и денудации, а во впадинах — осадконакопление, что привело к образованию различий по генезису поверхности (рис.3).

Наиболее широко в пределах материковой части распространены эрозионно-денудационные поверхности (юго-восточный склон Байкальского хребта и п-ов Святой Нос). Слоны имеют среднюю крутизну (15-30°), местами крутие (40-60°), вершины чаще куполовидные и островерхие. В истоках р.Лены (востораздельная часть хр.Байкальского) и в районе р.Крестовской наблюдается денудационные формы рельефа с пологими (5-15°) склонами водоразделов и отложенным отрутыми вершинами. Помимо этого в хр.Байкальском и на п-ове Святой Нос местами отмечаются результаты поверхности выравнивания, созданной комплексной денудацией. Поверхности озер-

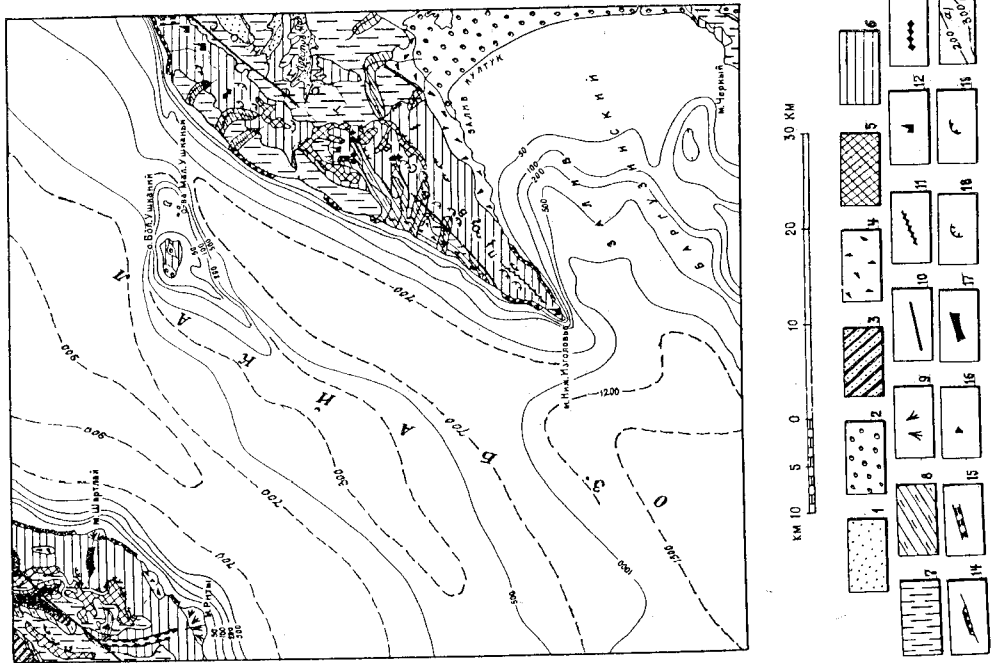
ното происхождения развиты только на Чивыркуйском перешейке и на о.Бол.Ушканый. На Чивыркуйском перешейке она образована равнинной поймы, а на о.Бол.Ушканый – поверхностью 10–15-метровой абраузонных террас и в восточной части острова – серией аброзионные поверхности. Слоны долин в основном пологие (5–15°) и средней крутизны (15–30°). А в долинах таких рек, как Крестовская и Онгокон, наблюдаются поверхности речной аккумуляции с равнинным и слабо всхолмленным рельефом. Здесь отмечается в основном пойма и редкости 2, 5–5-метровой национальной террасы. В долине р.Лены наблюдаются поверхности ледниковой аккумуляции с холмистым рельефом. Кроме того, вдоль юго-восточного и частично северо-западного склонов хр.Сыятоносского, а также на небольших участках в хр.Байкальском отмечается узкие выравненные плоскости, созданные в результате аккумуляции крупноглыбового материала, выносимого временным водотоками.

Большая часть рассматриваемой территории приходится на впадину Байкала, которая делится на две котловины – северную и южную. Северная котловина с максимальной глубиной 900 м отделяется от более глубокой южной (1363–1605 м) подводным Академическим хребтом. Ущелья острова являются выступающими над водой вершинами этого подводного хребта. Абсолютные высоты Академического хребта изменяются от 160 м (в подводной части) до 671 м (на о.Бол.Ушканый). От п-ова Святой Нос хребет отходит подводным желобом глубиной до 860 м, который к юго-востоку постепенно смыкается с южной котловиной. Берег оз.Байкал сформирован плавнен. Во многих местах вдоль него наблюдается 1,5–5-метровая скользитурно-аккумулятивная, реке скользитурная терраса. На о.Бол.Ушканый насчитываются 10 абраузонных террас, которые в настояще время под действием процессов денудации постепенно разрушаются. На поверхности террас местами сохранились озерные песчано-галечные отложения, а в их уступах – волноприбойные ниши. Поверхности террас нахолочены на северо-запад. Высота террас колеблется от 16 до 65 м, а ширина не превышает 70–80 м.

В пределах материкиной части выделяются четыре типа рельефа: а) високогорный эрозионно-экзарационный; б) высокогорный эрозионный сильно расщепленный; в) низкогорный пологосклонный эрозионно-денудационный и г) равнинный.

Високогорный рельеф зонально – эрозионно-экзарационный; б) высокогорный эрозионный сильно расщепленный; в) низкогорный пологосклонный эрозионно-денудационный и г) равнинный.

Рис. 3. Геоморфологическая схема
Генетические комплексы рельефа: 1–5 – поверхности: 1 – речной аккумуляции, 2 – озерной аккумуляции, 3 – ледниковой аккумуляции, 4 – созданные временным потоками, 5 – различные и пологие комплексной денудации (поверхности выравнивания); формы рельефа: 6–8 – склоны: 6 – средней крутизны и круглые (15–60°) эрозионно-денудационные, 7 – пологие (5–15°) денудационные, 8 – пологие и средней крутизны (5–30°) эрозионные; 9 – конусы выноса; 10 – тектонические уступы; 11 – скалистые гряды; 12 – денудационные останцы; 13 – денудационные уступы; 14 – аэрэзионные уступы; 15 – участки каньонодорожных долин; 16 – устья висячих долин; 17 – троговые долины; прочие обозначения: 18 – водосборные воронки, 19 – кары; 20 – изобаты: а – проведенные по топокарте, б – дополненные, по Е.В.Лемакину



здесь характеризуется сложными куполовидными вершинами или выровненными участками, представляющими собой не затронутые эрозией реликты древней денудационной поверхности. Абсолютные высоты вершины водоразделов достигают 1700–2000 м, а относительные их превышения – 400–500 м. Здесь широко распространена форма, созданная ледниковой эрозией (карни, троги) и аккумуляцией (моренные гряды). В пределах водораздельной поверхности преобладают процессы солифлюкционного сноса и накопления, локально развиты участки гравитационно–солифлюкционного сноса.

Високогорный разрез и онный склон – это расположенный на расчлененной рельефной зоне Святой Нос, склон хр. Байкальского и широко развит на п-ове Святой Нос. Абсолютные высоты здесь изменяются от 1600 до 1800 м. Склоны водоразделов имеют уклон от 40 до 60°. Основным рельефообразующим фактором является глубинная эрозия и в меньшей степени – гравитационно–солифлюкционные процессы. На небольших участках отмечается поверхности, созданные временными водотоками, а на п-ове Святой Нос, кроме того, – поверхности выравнивания. Водоразделы в большинстве случаев имеют скалистые узкие гребни, а речные долины – V-образный, участками каньонобразный подверженный профиль, не террасированы. Глубина вреза водотоков достигает 400–800 м. На склонах и водоразделах широко развиты останцы коренных пород, каменные россыпи, денудационные уступы и водосборные воронки.

Низкогорный пологосклонный разрез и онный склон – занимает восточную предгорную часть Сытоносского хребта. Абсолютные высоты вершин колеблются от 680 до 960 м. Данный тип рельефа характеризуется сравнительно пологими осложненными водоразделами, имеющими относительные превышения от 180 до 400 м. Склоны водоразделов имеют уклоны от 10 до 15°. Долины широкие, часто с заболоченными днищами. В наиболее крупных реках, кроме поймы, отмечается еще и реликты 2, 5–5-метровой надпойменной террасы. Широко развиты процессы солифлюкционного и гравитационно–солифлюкционного сноса.

Равнинный рельеф – развит на Чивыркуйском перешейке, поверхность которого представлена заболоченной озерно–аллювиальной равниной с многочисленными крутыми и мелкими озерами. Реки обычно имеют непостоянные русла. Основную часть внутреннего аллювиального поля перешейка составляет пологонаклонная поверхность поймы. Абсолютные высоты ее колеблются от

456 до 468 м. Со стороны Баргузинского залива морским прибоем создан песчаный карьер, местами достигающий высоты 4–5 м, ширину его 100–350 м.

История формирования рельефа может быть более или менее полно освещена, начиная только с неогена. В середине этого периода, в конце олигоцена – начале миоцена, на месте ранее существовавшего денудена возникла впадина Байкала (Ламакин, 1960). Реликты этого денудена сохранились местами в материковом части. На западном побережье Байкала долины рек врезаны в докнеогеновую денудациюированную поверхность. Об этом свидетельствуют сохранившиеся на отдельных участках реликты коры выветривания. На о. Ольхон эта кора перекрыта миоценовыми глинами и песками. В Восточном Прибайкалье донеогеновая кора выветривания сохранилась в Баргузинской впадине в основании неогеновых отложений (Циренов, 1965).

В результате интенсивных орогенических движений в неогене и начале четвертичного периода, наряду с впадинами, образовались крутые горные хребты, в вершинной части которых на отдельных участках находятся реликты древнего выровненного рельефа. В среднем плеистоцене центральная часть Байкальского хребта подверглась следенению горно–долинного типа. К началу оледенения основные черты рельефа были близки к современным. Существовавшая в то время гидросеть с небольшими изменениями сохранилась и поныне. Тем не менее древнее оледенение явилось важным фактором формирования современного рельефа. Формы ледниковой акварации очень хорошо выражены. Они представлены глубокими каррами, трогами и т. п. Из форм ледниковой аккумуляции наиболее полно сохранились конечные морены по долинам рек Лены, Раты и Шарталай. По двум последним языкки ледника спускались к Байкалу. Следов оледенения на п-ове Святой Нос не установлено.

В последний период существенного рельефа сыграли эрозия и мерзлотные процессы. В это время здесь происходил интенсивный аэродинамический ветр, который морфологически выражен в образовании каньонообразных и U-образных долин, нивально–водных каров. Так, каньон р. Рытн имеет практически отвесные стены высотой около 600–700 м, р. Шарталай – 400 м, а на п-ове Святой Нос – 150–200 м. В устье таких рек обычно нальдаются обширные конусы выноса. В голоцене продолжали расти хребты Байкальский и Сытоносский, что сопровождалось интенсивной эрозией. Абразионная деятельность оз. Байкал выражена в различии коренного берега и образования в коренных породах различной форм и размеров ини.

На большей части исследованной территории геоморфологическая обстановка не благоприятна для образования россыпных месторождений. Все реки интенсивно врезаны и аллювиальные отложения в пределах их долин имеют малую мощность. Исключение составляет четвертичные отложения Чиваркуйского перешейка, среди которых возможно обнаружение россыпных месторождений.

ПОЛЕЗНЫЕ ИСКОПАЕМЫЕ

На территории листа были известны месторождения цветных и белых мраморов, проявления меди, кобальта, золота и признаки нефтегазопроявлений. Нашими работами выявлены проявления другого угля, золота, меди и асбеста амфиболового.

ГОРОЧЕ ИСКОПАЕМЫЕ

Нефть и горючие газы

Признаки нефте- и газопроявлений на восточном побережье Байкала были известны еще со времен И.Д.Черского (1886). В начале текущего столетия по заданию Иркутского горного округа Долис-ками нефти в этом районе занимался В.Д.Рязанов (1902-1903). В результате проведенных работ были зарегистрированы выходы газов в Баргузинском заливе и на Чиваркуйском перешейке, в районе оз. Мал.Аракатуй (несколько восточнее рассматриваемой территории). Кроме того, на берегу Баргузинского залива, севернее и южнее устья р.Баргузин, отмечалось выбрасывание волнами "комьев отщущенной нефти" (озокерита). На Чиваркуйском перешейке в 1905-1907 гг. было пробурено пять скважин. Глубина скважин колебалась от 100 до 360 м. Пробурены они были в рыхлых четвертичных отложениях, представленных в основном песком, местами с примесью глинистого и ильстого материала. В процессе бурения отмечалось несколько газовых горизонтов и признаки нефти. Первонациально это были маслянистые пленки на промывочной жидкости, а с глубины 290 м нефтяные капли отмечались в желонке. Несмотря на то, что скважины не были пробурены до кристаллического фундамента и, следовательно, весь разрез рыхлых отложений не был изучен,

В.Д.Рязанов в датчайшем (1928) дал отрицательное заключение на поиски промышленных концентраций нефти на описываемой территории в связи с господствовавшей в то времящей мезозойской нефти. Однако спустя почти полвека, когда стало известно, что

нефть может залегать и в неоген-палеогеновых отложениях, вопрос о возможной промышленной нефтегазоносности территории был пересмотрен. В Баргузинском заливе, на Чиваркуйском перешейке и в Баргузинской впадине конторой Востсибирнефтегеофизика были проведены комплексные геофизические работы (Булмасов и др., 1954), а трестом Востсибирнефтегеология во впадинах одновременно - геолого-геоморфологическая съемка (Лоскутников и др., 1955). После проведения этих работ перспективной на поиски нефти была признана только Баргузинская впадина. Большой объем буровых работ, выполненных в пределах впадины, не подтвердил представлений о ее нефтегазоносности, на основании чего Усть-Баргузинская впадина и Чиваркуйский перешеек, как отруктуры близкие по строению к ней, были также признаны бесперспективными. В то же время вопрос о нефтегазоносности описываемого района нельзя считать окончательно решенным, пока не будет изучен весь разрез рыхлых отложений.

Твердые горючие ископаемые

Бурый уголь

Марковское проявление (Г2) второго угла выявлено на северо-западном побережье п-ова Святой Нос, в 16,5 км к северо-востоку от М.Ниж.Изголовье. Здесь среди неогеновых песчано-глинистых отложений ольвинской толщи обнажается пласт угля мощностью 1 м. Уголь имеет темно-бурый цвет и содержит линзы и прослои (до 20 см) песка. Вশе по разрезу он первоначально пещечно-листистыми отложениями, ниже подстилается желтовато-серым песком. Далее к северо-востоку и юго-западу от данного пласта в уступе террасы на различных уровнях от уреза воды отмечается местные (от 0,2 до 0,9 м) прослои сурых песчано-глинистых отложений, обогащенных остатками обуглившейся древесины. Значительное содержание в утиле примеси территенного материала свидетельствует о высокой зональности и низком его качестве. Данное проявление практического значения не имеет.

МЕТАЛЛИЧЕСКИЕ ИСКОПАЕМЫЕ

ЦВЕТНЫЕ МЕТАЛЛЫ

Медь

Ритинское проявление (8) меди выявлено в среднем течении р.Риты (Устинов, 1967). Здесь по обеим берегам долины зафиксировано около двух десятков рудных зон с прожилково-вкрашенным пирит-халькопиритовым оруденением. Направление зон субширотное и субмеридиональное, падают они на юго-восток (120°) и северо-запад (310-320°) под углами 40-60°. Мощность их достигает 15 м, по простирации она прослеживается до 100-150 м, в одном случае до 900 м. Наибольший интерес представляют рудные тела в карбонатно-альбит-кремнистых породах. Последние пристроичены к зонам разломов, широко развитых среди песчаников южнитинской свиты. Самая крупная оруденяющая зона тагого типа расположена в правом борту долины р.Риты. При мощности 4-15 м она прослежена по простирации на 0,9 км. Направление субмеридиональное, падение под углом 75° на восток. По простиранию и вкrest простирации зоны безрудные участки чередуются с участками, несущими серебро и медноколчеданное оруденение. Обично наблюдается узкая вкрапленность пирита с отдельными гнездами халькопирита. Количество рудных интервалов в различных сечениях зоны изменяется от 1 до 3 м, суммарная их мощность - 4-5 м (50-60% от общей мощности зоны). Рудные минералы представлены пиритом, халькопиритом, реже цирротитом, магнетитом, галенитом, сферулитом, борнитом, ковеллитом, кобальтином. Широко развиты лимонит, малахит, азурит. Соотношения между основными рудными минералами - пиритом и халькопиритом варьируют в широких пределах. Наиболее обогащен халькопиритом северо-западный фланг зоны, где содержание меди, по данным химических анализов 13 проб, колеблется в пределах 0,25-5,6% и в одной пробе достигает 13,28%. Мощность рудного тела с медным оруденением здесь изменяется от 2 до 4 м, среднее содержание меди составляет 2,8%. Кроме того, присутствует кобальт - до 0,03-0,52%, золото - до 0,2 г/т, серебро - до 1 г/т.

На юго-восточном фланге оруденения часть зоны имеет мощность 4-4,5 м. Среднее содержание меди здесь (61 проба) - 0,62%, а количество кобальта колеблется от 0,017 до 0,042%. В отдельных пробах пробирным анализом установлено золото от 0,5

до 1 г/т, серебро до 2 г/т, а спектральным анализом вольфрам - от 0,01-0,06 до 1%.

Анютинское проявление (9) меди установлено на берегу Байкала, в 3 км севернее м.Риты. Здесь среди окременных песчаников южнитинской свиты наблюдаются две кварцевые жили мощностью 0,2-0,5 м с вкрашенностью зерен пирита и халькопирита размером до 1 см. Местами интенсивно развиты налеты малахита. Спектральный анализом в жилах установлено содержание меди 0,06-1%.

Ореол рассеяния (4) халькопирита выявлен широким опробованием по р.Рите. Протяженность ореола около 10 км. Вместе с халькопиритом в шлифовых пробах в знаках и редких знаках присутствуют шеелит, флюорит, золото, а также и галенит (Устинов, 1967).

Ореол рассеяния (13) меди сопоставлено с никелем зарегистрирован по металлометрическому опробованию, в районе мыса Ник.Изголовье на П-ове Святой Нос. Площадь ореола около 0,8 км². Содержание меди и никеля в пробах составляет 0,02-0,03%. Этот ореол распространенно и, по-видимому, генетически связан с амфиболитами катковской свиты, расположенным вблизи контакта с гранитами витиманского комплекса.

Из описанных проявлений меди наиболее интересным является Ритинское проявление (8). Здесь рекомендуется постановка поисково-разведочных работ (Устинов, 1967).

Кобальт

Все проявления кобальта выявлены на западном побережье Байкала, где они связаны с зонами пиритизации в карбонатно-альбит-кремнистых породах, слагающих согласные и секущие метасоматические залежи среди песчаников и сланцев южнитинской свиты.

Леворитиновое проявление (7) приурочено к мощной зоне пиритизации в среднем течении р.Риты. Эта зона представляет собой трещинно-метасоматическое залежь протяженностью 1,4 км и мощностью от 10-15 до 75-80 м. Азимут падения залежи юг-юго-западное 180-220°, угол 40-60°. Строение зоны неоднородное. Наряду с интенсивно измененными пиритизированными альбит-кремнистыми породами, присутствуют блоки слабо измененных окременных песчаников, содержащих узкую вкрашенность пирита. Наиболее богатое оруденение кобальта наблюдается со стороны высокого бока (мощность 5-15 м), по простиранию оно изучено на 450 м. В зоне также присутствуют оглаженные метасоматические

тела магнетитовых и пирит-магнетитовых руд мощностью до 1 м, а по трещинам наблюдается лиловые налеты эвдиолина. Минеральный состав тяжелой фракции кобальтоносных город представлен шпинтом (0,07–10,74%), магнетитом (до 13%), гранатом, пироксеном, амфиболом. Содержание кобальта, по данным химического анализа 72 проб, составляет 0,02–0,056%. В единичных пробах помимо кобальта отмечены повышенные содержания никеля (до 0,02%), свинца (до 0,08%), мышьяка (0,01–0,6%) и серебра (до 3,4 г/т). В мономинеральных пиритах содержание кобальта, по данным химического анализа, колеблется от 0,03 до 1,15%.

На Леворитинском проявлении кобальта рекомендуется постановка поисково-разведочных работ (Устинов, 1967).

Шарталай склоне проявления (6) кобальта связано с магнитными (до 1–3 м) зонами пиритизации среди город ильинской свиты, наблюдавшимися в вершине р. Шарталай. По простирации они прослеживаются до 40–50 м. Содержание кобальта в пробах достигает 0,02–0,2% (химический анализ). В отдельных зонах сульфидизированных город кобальт присутствует совместно с медью (0,1–0,5%) и золотом (0,1–0,6 г/т). Содержание кобальта в них – 0,11–0,71%.

Наиболее выраженные потоки рассеяния кобальта с содержанием элемента 0,004–0,01%, а в единичных пробах – до 0,02–0,03% выявлены по обоям бортам долины р. Риты (Устинов, 1967).

Благородные металлы

Золото

Верхненское проявление (3) установлено в верховых р.Лены, в 1 км западнее отметки 2036 м. Здесь среди темно-серых мелкозернистых песчаников ильинской свиты вolithы русла реки, в основании полупрозрачного уступа деловильского шлейфа, найдены глыбы темно-коричневых интенсивно сульфидизированных город кварц-полевошпатового состава. Размер глыб до 1 м в поперечнике. В одной из глыб отмечается наиболее интенсивная минерализация в виде почти мономинеральных сульфидных прожилков (мощностью 1–2 см), приуроченных к краевой части. К центру глыбы количество сульфидов уменьшается и наблюдаются они в редких гнездах или в виде мелкой вкрашенности. Сульфиды представлены пиритом, халькопиритом и арсенопиритом.

В шлиховой пробе, отобранный из-под глины и выветревшего материала самой глины, был обнаружен самородок золота размером 0,2x0,2x0,5 см и несколько более мелких зерен. Вес самородка 0,02 г. Совместно с золотом присутствует базовистит в количестве до 83,3 г/м³. Золото пластинчатой формы, неокатаное, ярко-желтого цвета. В коренном залегании жила не обнаружена. По данным пробирного анализа, в пробе сульфидизированных город обнаружено золота в количестве 6 г/т и серебро 4,4 г/т.

Ореолы рассеяния золота шлиховым опробованием установлены по р.Лене (1) и руч. Водопадному, левому притоку р.Риты (5). Протяженность ореолов 3–4 км. Совместно с золотом в шлихах присутствуют халькопирит, шеелит, арсенопирит. Содержание золота в пробах составляет 1–2 знака.

Пространственное распределение шлиховых ореолов рассеяния золота свидетельствует о том, что коренной источник его, по всей вероятности, находится на водоразделе рек Риты, Лены и Шарталай, тем более, что в верхнем течении р.Шарталая в отдельных шлиховых пробах также встречаются редкие залежи золота. На данной площади целесообразно проведение детальных поисковых работ на золото.

НЕМЕТАЛЛИЧЕСКИЕ ИСКОПАЕМЫЕ

Асбест амфиболовый

Береговое проявление (2) амфибол-асбеста обнаружено на побережье Байкала, в 3 км севернее М.Шарталай. Связано оно с дайкой диабазов среднепротерозойского возраста, обнажающейся в береговом обрыве среди песчаников ильинской свиты. Мощность дайки 2 м, протяженность не известна. В диабазах наблюдаются редкие прожилки асбеста мощностью от 0,5 до 5 см. По простиранию они быстро выклиниваются, а иногда образуют сложную сетку. Амфибол-асбест имеет зеленый цвет, полеречно-волокнистое строение, хрупок, трудно расщепляется и обычно истирается в мелкую крошку. В иммерсионном препарате бесцветный, удлинение положительное, угол сно = 14°, преломление по № – I,674, по № – I,666. Проявление имеет минералогический интерес.

СТРОИТЕЛЬНЫЕ И ДРУГИЕ МАТЕРИАЛЫ

Карбонатные породы

Мраморы

В 1955 г. с целью поисков облицовочного материала изучались мраморы, слагающие о.Бол.Ушканьи (Крылов, ГЭБФ). При этом были установлены месторождения цветного и белого мрамора.

Ушканьинский месторождение цветного (II) мрамора располагается в северной части острова. Мраморы в основном имеют розовый цвет. Наличие окислов железа и хромита и неравномерное распределение их в породе обусловливает всевозможные оттенки красного, малинового, бордового, зеленого и желтого цветов. В ряде случаев мраморы имеют брекчевидное сложение, которое резко отличается наличием сургучно-красных или бордово-малиновых железисто-хромисто-карбонатных стяжий в общей массе молочно-белого мрамора. В других случаях брекчевые включения в породе, имеющие угловатую, вытянутую, эллиптическую и реже округлую форму, обладают розовым, красным, соломенным и желтовато-белым цветом и представлены преимущественно кремнистыми материалами. Общий цвет подобных разностей мрамора розоватый. Иногда включения серого и густо-розового цвета образуют в мраморе отдельные небольшие полосы, реже скамьиают брекчевые включения. Однако эти рисунки не являются единичными. В большинстве случаев происходит как бы наложение на эти рисунки других смятых цветов и оттенков. Имеющиеся в породе микротрешинны, мощность которых достигает до 0,5-1 мм, обычно заполнены гидроокислами железа, кальцитом и редко кварцем. Эти прожилки, безусловно, улучшают декоративные качества мрамора.

Просвечиваемость мрамора различная и зависит от его окраски. Так, участки ярко-красного или розового цвета почти не просвечиваются, в то время как участки, окрашенные в более светлые тона, лучше пропускают свет. Мраморы в большинстве случаев сравнительно легко принимают совершенную полировку. Исключение представляет брекчевые разновидности, значительно насыщенные кварцем. Полированная поверхность их получается несколько тусклой.

Мраморы сильно катаклизированы. Массовые замеры трещин и расстояний между ними показали, что наиболее характерные трещины секут породы под острым углом к слоистости, расстояние между

трещинами 50-60 см, а углы между главными системами трещин в основном тупые и поэтому естественная форма блоков неправильная с тупыми и косыми углами. Такие блоки требуют пасыроки. По ориентировочным данным, выход блочного камня из горной массы не превышает 10%, а размер пасыриванных блоков - 0,1 м³. Отрицательным свойством цветных мраморов является также наличие среди них брекчевидных разновидностей с большой примесью железисто-хромистого материала, что затрудняет его расшивку и полировку.

В целом цветной мрамор этого месторождения, несмотря на повышенную трещиноватость и наличие брекчевидных разновидностей в отдельных участках, представляет несомненный практический интерес как высококудожественный декоративно-облицовочный материал. Это определяется прежде всего высокими декоративными, а также физико-механическими свойствами, позволяющими считать его пригодным не только для внешней, но и для внутренней облицовки. Подсчет запасов на месторождении не производился.

Пещеркинское месторождение (II) белого мрамора располагается в юго-восточной части острова. Породы представлены однообразной пачкой мрамора белого цвета без видимых включений и примесей. Структура их средне- и крупнокристаллическая, текстура массивная. Массовые замеры трещиноватости показали, что количество блоков с интервалами между трещинами от 0,5 до 10 м составляет не более 2%. Запасы на месторождении не подсчитывались.

Химический состав мраморов о.Бол.Ушканьи непостоянный. По данным химических анализов 12 проб, содержание отдельных компонентов колеблется в широких пределах (в %): CaO - 30,34-54,18; MgO - 0,9-22,4; Al₂O₃ - 0,23-3,22; Fe₂O₃ - 0,19-1,3; FeO - 0-0,34; SiO₂ - 0,58-28,82.

Физико-механические свойства мраморов изучались по шести пробам. Объемный вес мраморов - от 2,74 до 2,82 г/см³, водопоглощение (в % по весу) - от 0,17 до 0,34, коэффициент размягчения - от 0,96 до 1,48. Механическая прочность (временное сопротивление сжатию в кг/см²) в сухом состоянии находится в пределах 800-1300 и лишь в единичных случаях опускается до 500. Минимальное изменение прочности после 50 циклов замораживания - 10,6%, максимальное - 29,9%. Таким образом, мраморы месторождения о.Бол.Ушканьи удовлетворяют требованиям ТУ 13-53 и являются притяжными для облицовочных изделий.

Из других нерудных полезных ископаемых могут быть отмечены

пески, развитые в устье р.Баргузин в пределах 8-10 м террас. Пески среднеэзернистые кварц-полевошпатовые, буровато-серые, с неизначительной примесью глинистых частиц. Технологических испытаний песков не производилось. В соседнем с востока районе аналогичные пески развиты более широко и используются при строительстве грунтовых дорог в качестве добавки к балласту, а также для приготовления цементных растворов.

ОБЩАЯ ОЦЕНКА ПЕРСПЕКТИВ РАЙОНА

Анализ закономерностей пространственного размещения проявленных полезных ископаемых и их приуроченности к определенным структурам позволяет выделить на описываемой территории Верхнеленскую рудную зону с медно-кобальтовым оруднением.

Верхнеленская рудная зона в основе охватывает водораздельное пространство между р.Леной и оз.Байкал и контролируется полосой развития осадочно-метаморфических пород илекитинской свиты. Протягивается она в северо-восточном направлении и выходит за пределы рассматриваемой территории на юго-западе и северо-востоке. Ширина зоны достигает 7-10 км, протяженность только в границах листа - 25 км. В этой зоне среди песчаников и сланцев илекитинской свиты широко развиты дайки диабазов и диабазовых порфиритов, гранитоиды муйского и ирельского комплексов, а также мелкие и крупные разрывные нарушения, по которым довольно интенсивно проявлен интроверо-кремниевый местоматоз. К этой зоне приурочены проявления меди (4,8,9), кобальта (6,7), золота (1,3,5) и амфибол-асбеста (2).

В связи с особенностями распределения минерализации в пределах рудной зоны рекомендуется:

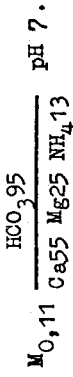
1. На водоразделе, дренируемом реками Ритой, Леной и Шарталаем, провести поиски в масштабе 1:25 000 - 1:10 000 с целью выявления рудных тел с промышленными концентрациями золота, которые могут быть связаны с зонами сульфидизированных пород. При этом необходимо обратить внимание также на возможную золотоносность даек диабазов, их эндо- и экзоконтактов.
2. По мнению В.Г.Рыбакова, на Ритинском комплексном медно-кобальтовом и Деворитинском кобальтовом рудопроявлениях для выяснения перспектив на глубину, необходимо проведение поисково-разведочных работ (Устинов, 1969).

ПОДЗЕМНЫЕ ВОДЫ

В пределах площади листа специализированных гидрогеологических работ не проводилось. По нашим наблюдениям в процессе геологической съемки, а также с учетом данных гидрогеологической съемки масштаба 1:200 000 листа N-49-ХХ (Замана, 1966Ф), подземные воды подразделяются на:

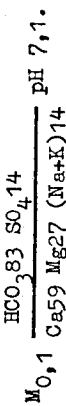
1. Водоносный комплекс аллювиальных отложений.
 2. Водоносный комплекс делювиально-продвижальных отложений.
 3. Водоносный комплекс зоны трещиноватости изверженных и метаморфических пород.
- Водоносный комплекс залежей-нижних отложений имеет ограниченное распространение в пределах некоторых долин рек, на байкальских террасах и Чивыркуйском перешейке. Эти воды приурочены к аллювиальным и озерным неогеновым и четвертичным отложениям, представленным разновозрастными песками с травием и галькой. Мощность водоносного комплекса не установлена. Выходы родников из аллювиального водоносного горизонта наблюдались в районе м.Ниж.Иаголовье, северо-восточнее его и около м.Орлового. Дебет их не превышает 0,5 л/сек.
- На Чивыркуйском перешейке по окраинам, пробуренным на границе с описываемым листом (Замана, 1966Ф), зеркало грунтовых вод залягает на глубине 0-2 м, а в пределах террас в районе устья р.Баргузина - до 7-10 м. Дебет скважин при понижении на 2,7 и 11,6 м изменяется соответственно от 4,2 до 2,7 л/сек. Воды беззапорные, гидрокарбонатные кальциевые, магний-кальциевые и реже кальций-натриевые. Минерализация их не превышает 0,3 г/д, температура +3-4°C.

Химический состав вод выражается формулой:



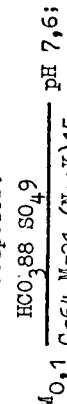
Водоносный комплекс делювиальных-норильских отложений развит в предгорьях хр.Святоносского и Меньше в хр.Байкальском и приурочен к отложению предгорного шлейфа. Водоизмещающий горизонт представлен щебнем с песком, глиной и крупными обломками кристаллических пород. Воды пресные, прозрачные. Дебет родников от 0,06 до 0,1 л/сек. Данные о химическом составе вод этого комплекса отсутствуют.

Водоносный комплекс зон трещинно-известняковых и местами орфических пород. Водовмещающими являются различные гранитоиды, а также глубокометаморфизованные архейские и осадочно-метаморфические протерозойские породы. По данным буровых работ, проведенных восточнее рассматриваемой территории (Замана, 1966), зона эффективной трещиноватости коренных пород прослеживается до глубины 70–80 м. Увеличение глубины трещиноватости наблюдается на участках резко расщлененного рельфа. Зеркало грунтовых вод в общих чертах повторяет рельф местности и глубина их залегания увеличивается от речных долин к водоразделам. Воды беззапорные, нисходящие. Выходы трещинных вод в виде родников наблюдались на западном берегу Байкала и на п-ове Святой Нос. Они часто приурочены к основанию склонов. Дебит родников обычно колеблется от 0,5 до 1,5 л/сек. По химическому составу воды комплекса гидрокарбонатные магний-кальциевые и кальциево-натриевые с минерализацией от 0,06 до 0,13 г/л. Температура не превышает +3,5°C. Химический состав вод выражен формулой:

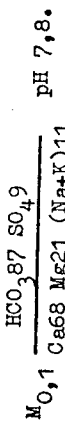


Для водоснабжения в настоящее время используется только водоносный комплекс аллювиальных отложений. Кроме подземных вод, водоснабжение могут обеспечивать воды оз.Байкал, запасы которых на территории листа практически неограничены. Эти воды обладают очень высоким качеством. Они без какой-либо очистки могут быть использованы в промышленности, и очень незначительная очистка их нужна для водоснабжения населения. По данным К.К.Вотинцева (1961), химический состав вод открытого Байкала остается на всем протяжении водоема более или менее постоянным. Некоторые различия наблюдаются лишь в прибрежной части озера. Температура воды поверхностного слоя летом не превышает 14°C и лишь только в некоторых заливах в августе поднимается до 18–24°C. Минерализация их не превышает 0,1 г/л. Воды мягкие, гидрокарбонатные, магний-кальциевые и натрий-магний-кальциевые. Формула химического состава вод:

в районе Ушканьих островов:



из средней части Баргузинского залива:



ЛИТЕРАТУРА

- Опубликованная
- Арсентьев А.В. К вопросу о байкальской нефти. – Маг. по геол. и полезн. истокам. дальнего Востока, № 30, 1924.
- Вотинцев К.К. Гидрохимия оз.Байкал. – Тр.Байк. лим.стации СО АН СССР, т.ХХ. Изд.АН СССР. М., 1961.
- Бухаров А.А., Винченко В.Н. Геологическая карта СССР масштаба 1:200 000, серия Прибайкальская, лист №49-ХIII. Недра, 1966.
- Елизарев Ю.З. Архейские образования Восточного Саяна и Южного Прибайкалья. Геология СССР, т.ХХХ (Бурятская АССР), ч.1. Недра, М., 1964.
- Ескин А.С., Пальшин Г.Б., Гречишев Е.К. и др. Геология и некоторые вопросы неотектоники ушканьих островов на Байкале. – Тр.ВСТИ СО АН СССР, сер. геол., вып.2, 1959.
- Корикоский С.А. О возрасте дайфортов станового глубинного разлома и их связь с региональной гранитизацией. – Мат. по тек. и петрол. Тихоокеанского рудн.пояса. Инст. геол.ДВ СО АН СССР, 1964.
- Кузнецов Ю.А. Главные типы математических формаций и размещение их в основных отруктурах земной коры. – Мат. ХХII сес. МГК, докл. сов.геол., пробл. № 16. Наука, 1964.
- Ламакин В.В. К геологической истории прибайкальского пенеплена. – Бюлл. Комис. по изуч.четвертич.пер., № 24, 1960.
- Ламакин В.В. О возрасте и условиях образования эрозионного рельфа в Прибайкалье. – Бюлл. Комис. по изуч.четвертич. пер., № 26, 1961.
- Лут Б.Ф. Геоморфология дна Байкала. Наука, 1964.
- Малышева Л.Н. Геологическая карта СССР масштаба 1:200 000, серия Прибайкальская, лист №49-ХХI. Гостехиздат, 1963.

- Мац В.Д., Аносов В.С., Дунская И.К. Геологическая карта СССР масштаба 1:200 000, серия Прибайкальской, лист №48-ХХIУ. Госгеотехиздат, 1961.
- Павловский Е.В. О некоторых общих закономерностях развития земной коры. - Изв.АН СССР, сер.гегол., 1953, № 5.
- Павловский Е.В., Ескин А.С. Особенности состава и структуры архея Прибайкалья. - Тр.ГИН АН СССР, вып.10, 1964.
- Рязанов В.Д. Месторождения озокерита и нефти в Прибайкалье. - Чит. по геол. и полезн.ископ. Дальнего Востока, № 19, 1928.
- Салоп Л.И. Геология Байкальской горной области, т. I. Недра, 1964.
- Салоп Л.И. Геология Байкальской горной области, т. II. Недра, 1967.
- Судовников Н.Г., Глебов И.А., Чекин В.А., Другова Г.М. и др. Геология и петрология южного обрамления Алданского щита. Наука, Л., 1965.
- Соловенко В.П., Тресков А.А., Килькин В.М. и др. Сейсмогеотоника и сейсмичность рифтовой системы Прибайкалья. ИЗК СО АН СССР. Наука, 1968.
- Флоренсов Н.А. Мезозойские и кайнозойские впадины Прибайкалья. - Тр. ВСФ СО АН СССР, сер.геол., вып.19, № 1, 1960.
- Царенков Д.Ц. Кайнозойская тектоника. Геология СССР, т. XXXV (Бурятская АССР), ч. I. Недра, 1964.
- Фролова Н.В. Предполагаемое строение архейского фундамента юго-востока Восточной Сибири. - Изв.АН СССР, сер.геол., 1962, № 8.
- Царенков Д.Ц. Геологическая карта СССР масштаба 1:200 000, серия Прибайкальская, лист №49-ХХ. Недра, № 1965.
- Черский И.Д. О результатах исследования оз.Байкал. Зап.Русск.гегр.об-ва по общей геогр., т.III, № 3, 1886.
- Escola P. On the igneous rocks of Svaltay Noss in Transbaikalia. Finsk. Vetens. Soc. Förhand. b.lXIII, 1921.

Фондохр/

Аварельнов Б.А., Салоп Л.И. Геологический отчет Восточно-Байкальской партии (геологическая съемка в масштабе 1:1 000 000), 1940.

У Работы, местонахождение которых не указано, хранятся в геолфонде объединения Бурятгегологии.

Аросентьев В.П., Батурина Е.Е., Волкозов Л.С. и др. Металлогеническая и прогнозная карта Бурятской АССР масштаба 1:500 000. Отчет о работах по темам 39 за 1961-1963 гг. и 117 за 1964 г., 1964.

Беломенцев И.Г. Упак Л.А., Шупак Л.М. Отчет о результатах работ Зейской аэромагнитной партии 23/59 за 1959 г., 1960.

Булмасов А.П., Платчин Н.Ф., Монделль-башин Н.М. и др. Отчет о работах Байкальской геофизической экспедиции в составе Баргузинской, Селенгинской и Тункинской партий за 1952 г. и Селенгинской и Баргузинской электроразведочных партий за 1951 г., 1954.

Ветров Л.В., Ружавец В.Ф. Геологическая карта СССР масштаба 1:200 000, серия Прибайкальская, лист №49-ХХI, 1961.

Гусак М.Т. Отчет о работах Братской аэрогравиметрической партии 12/58 (Иркутская область). Геолфонд объединения Иркутскгеология, 1959.

Давыдов В.И., Киванов Г.А., Соколов О.В. и др. Геологическое строение и полезные ископаемые правобережья р.Большуйки (южная часть листа №50-П). Отчет Бамбуйской партии за 1962 г., 1963.

Давыдов В.И., Аляев Л.П., Маярши-НИИ, Иванов И.Г. Геологическое строение и полезные ископаемые нижнего течения р.Турки, л.-ова Святой Нос и остров Р.Лен. Листы №49-ХIX и ХХ. Отчет Котокельской партии за 1965-1967 гг., 1968.

Еокин А.С. Стратиграфия и тектоника кристаллического комплекса архея Западного и Восточного Прибайкалья (Ольхонская серия). Диссерт. на соиск.ученой степ.канд.геол.-минер.наук. Геолфонд объединения Иркутскгеология, 1965.

Заманов Д.В., Антропова Г.С., Степаненко В.Н. Отчет Баргузинской партии по гидроgeологической съемке масштаба 1:200 000 за 1964-1965 гг., лист №49-ХХ, 1966.

Крилов Е.С. Отчет о поисковых работах на мраморы (облицовочный материал) в Западном Прибайкалье за 1954-1955 гг. (по результатам поисковых работ в Ольхонском районе Иркутской области и на территории Ушканьего архипелага в средней части оз.Байкал), 1956.

Лоскутников М.Н., Ветлугин Н.Г. Геологическое строение юго-восточного побережья оз.Байкал от залива

Провал до Чивыркуйского перешейка. Отчет о результатах работ Байкальской геолого-геоморфологической партии за 1954 г., 1955.

Мац В.Д., Краснов В.П., Баскин А.К. Отчет о геологополисковых работах Онгуренской партии в 1953 г. (Центральное Прибайкалье и о. Ольхон). Геолфонд объединения Иркутск-геологии, 1954.

Мулюков Э.М., Солянников М.М., Александрова И.С. и др. Отчет о результатах работ Баргузинской аэрогеофизической партии за 1965 г., 1966.

Полов П.А. Результаты гравиметровой съемки территории Бурятской АССР масштаба 1:1 000 000 по состоянию на I/XI 1963 г. Отчет о работах гравиметровой партии за 1962-1963 гг., 1963.

Салоп Л.И., Коников А.З., Трашин Д.В., Шалек Е.А. Корреляция докембрия Сибирской платформы и ее складчатого обрамления. Отчет по теме № 62, фонды ВСЕГЕИ, 1968.

Устинов В.И., Рыбаков В.Г. Геологическое строение и полезные ископаемые бассейнов верхнего течения рек Б.Анага, Лены. Промежуточный отчет Ленской и Хурулгутской геолого-съемочных партий за 1965-1966 гг. Листы № 49-73-А, № 48-84-Б и Г. Геолфонд объединения Иркутск-геология, 1967.

Цренов Д.Ц., Дубченко В.И., Рипп Г.С. и др. Геологическое строение и полезные ископаемые верховья р.Прав.Мамы. Отчет Южной партии по геологической съемке масштаба 1:200 000 за 1961 г. Лист 0-49-ХХII, 1962.

Шипицын А.И., Рязанова Г.М., Холмоз М.А. Отчет по аэрогеодинамическим исследованиям, прорезенным в 1961 г. Ленской партией. Геолфонд объединения Иркутск-геология, 1962.

Аценко Г.М. Стратиграфия и особенности метаморфизма докембрия Морского хребта (Восточное Прибайкалье). Дисс. на соиск. учен. степ. канд. геол.-минер. наук, 1965.

Приложение I

СПИСОК МАТЕРИАЛОВ, ИСПОЛЬЗОВАННЫХ ДЛЯ СОСТАВЛЕНИЯ КАРТЫ ПОЛЕЗНЫХ ИСКОПАЕМЫХ

№ п/п	Фамилия и инициалы автора	Название работы	Под- состав- ление или из- дания	Местонахожде- ние материа- ла, его фон- довый номер или место издания
1	Давидов В.И., Аляев Д.П., Мауринин Е.С., Иванов И.Г.	Геологическое строе- ние и полезные иско- паемые нижнего тече- ния р.Турки, л-ова Святой Нос и истоков р.Лены. Листы № 49-ХIX и ХХУ. От- чет Котомельской ГСП за 1965-1967 гг.	1968	ОФ объеми- нения Бурят- геологии, № 03696
2	Крылов Е.С.	Отчет о поисковых работах на мраморы (обсидиановый мате- риал) в Западном Прибайкалье за 1954- 1955 г. (по резуль- татам поисковых ра- бот в Ольхонском районе Иркутской об- ласти и на территории Ушканьего архипелага в средней части о.Байкал	1956	Там же, № 310
3	Устинов В.И., Рыбаков В.Г.	Геологическое строе- ние и полезные иско- паемые бассейнов верх- него течения рек Большой Анан, Лены. Промежу- точный отчет Ленской и Хулуртайской ГСП по работам масштаба 1:50 000 за 1965- 1966 гг.	1967	Там же, № 09448

Приложение 2

СИСТОМКА ПРОМЫШЛЕННЫХ МЕСТОРОЖДЕНИЙ ПОЛЕЗНЫХ ИСКОПАЕМЫХ,
ПОКАЗАННЫХ НА ЛИСТЕ №-49-ХХ КАРТЫ ПОЛЕЗНЫХ ИСКОПАЕМЫХ
МАСШТАБА 1:200 000

№ по кар- те	Индекс на кар- те	Наименование месторождения и вид полез- ного искона- емого	Состо- яние эксп- луата- ции	Тип ме- сторож- дения (К-ко- рение, п-рос- сыпь)	№ исполь- зованного материала по списку (прилож. I)	Приме- чание	СТРОИТЕЛЬНЫЕ И ДРУГИЕ МАТЕРИАЛЫ	
							Ираморы	Цветные
IO	I-3	Ушканьин- ское	Закони- серви- ровано	K	2			
II	I-3	Петропавловское	То же	K	2		Белые	

СИСТОМКА ПРОЯВЛЕНИЙ ПОЛЕЗНЫХ ИСКОПАЕМЫХ, ПОКАЗАННЫХ НА ЛИСТЕ №-49-ХХ КАРТЫ ПОЛЕЗНЫХ ИСКОПАЕМЫХ МАСШТАБА 1:200 000						
№ по кар- те	Индекс на кар- те	Наименование месторождения и вид полез- ного искона- емого	Тип ме- сторож- дения (К-ко- рение, п-рос- сыпь)	Индекс на кар- те	Название (место- нахождение) про- явления и вид по- лезного искона- емого	Характеристика проявления
I	2					№ исполь- зованного материала по списку (прилож. I)

Приложение 3

СИСТОМКА ПРОЯВЛЕНИЙ ПОЛЕЗНЫХ ИСКОПАЕМЫХ, ПОКАЗАННЫХ НА ЛИСТЕ №-49-ХХ КАРТЫ ПОЛЕЗНЫХ ИСКОПАЕМЫХ МАСШТАБА 1:200 000						
№ по кар- те	Индекс на кар- те	Наименование месторождения и вид полез- ного искона- емого	Тип ме- сторож- дения (К-ко- рение, п-рос- сыпь)	Индекс на кар- те	Название (место- нахождение) про- явления и вид по- лезного искона- емого	Характеристика проявления
I	2					№ исполь- зованного материала по списку (прилож. I)

I	2	3	4	5
		Кодальт		
7	I-1	Леворитинское	Прожилково-вкрашенное пиритовое оруднение в песчаниках	3
6	I-1	Шартлавское	Вкрашенное пиритовое оруднение в песчаниках	3
Благородные металлы				
		Золото		
3	I-1	Верхнеленское	Вкрашенность и прожилки пирита, халькопирита и арсенопирита в кварц-полевошпатовых породах	I
1	I-1	Верховье р.Лены	Шлиховой ореол разсения	I
5	I-1	Бассейн р.Риты	То же	3
НЕМЕТАЛЛИЧЕСКИЕ ИСКОПАЕМЫЕ				
		Масбест амфиболовый		
2	I-1	Береговое	Прожилки в дайке диабазов	I

В брошюре пронумеровано 75 стр.

Сдано в печать 20.I2.78.	Подписано к печати 26.01.83.
Редактор И.С.Гудорова	
Технический редактор С.К.Леонова	
Корректор И.И.Богданович	

Тираж 198 экз.	Формат 60x90/16	Печ.л. 4,75	Заказ 640с
Центральное специализированное производственное хозрасчетное предприятие объединения "СоюзгеоФонд"			